

# معیارهای فاصله و شباهت برای مجموعه‌های فازی و برخی از توسعه‌های آن

کامران رضایی و حسن رضایی

دانشگاه سیستان و بلوچستان، دانشکده ریاضی، آمار و علوم کامپیوتر، گروه علوم کامپیوتر

## چکیده

پس از معرفی مجموعه‌های فازی توسط زاده، این مجموعه‌ها مورد توجه بسیاری از محققان قرار گرفت و توسعه‌های متعددی از آنها معرفی شد. به عنوان نمونه، می‌توان به مجموعه‌های فازی نوع ۲، مجموعه‌های فازی بازه مقدار، مجموعه‌های فازی شهودی و مجموعه‌های فازی مردد اشاره کرد. با توجه به کاربردهای متعدد این مجموعه‌ها در زمینه‌های مختلف و همچنین با توجه به اهمیت معیارهای فاصله و شباهت در زمینه‌هایی همچون تشخیص الگو، داده کاوی و غیره، بررسی این معیارها برای مجموعه‌های فازی و توسعه‌های آن، امری حائز اهمیت است. از این‌رو، در این مقاله به بررسی برخی از معیارهای فاصله و شباهت معرفی شده برای این مجموعه‌ها پرداخته شده است.

## ۱ سرآغاز

بسیاری از ابزارهای سنتی برای مدل‌سازی، استدلال و محاسبات، قطعی و دقیق هستند. به عنوان مثال، در منطق دودویی، یک عبارت می‌تواند درست یا نادرست باشد. در نظریه مجموعه‌ها، یک عنصر می‌تواند به یک مجموعه تعلق داشته یا نداشته باشد. اما، در در دنیای واقعی، بسیاری از

Mathematics Subject Classification (2010): 03B52;03E72, Email: hrezaei@cs.usb.ac.ir.

عبارات و کلمات کلیدی: مجموعه فازی، مجموعه فازی نوع ۲، مجموعه فازی بازه مقدار، مجموعه فازی شهودی، مجموعه فازی مردد

(انجمن سیستم‌های فازی ایران) ۱۳۹۷

مسائل شامل عدم قطعیت و ابهام بوده به گونه‌ای که نظریه مجموعه‌های کلاسیک قادر به برخورد با آنها نیست. از اینرو، لطفی عسکر زاده<sup>۱</sup> در سال ۱۹۶۵، مفهوم مجموعه‌های فازی (FSs)<sup>۲</sup> را معرفی کرد [۲۸]. در واقع، در یک مجموعه فازی، هر عضو با یک درجه عضویت که مقداری از بازه [۰, ۱]<sup>۳</sup> می‌باشد، به مجموعه تعلق دارد.

پس از معرفی مجموعه‌های فازی، این مجموعه‌ها مورد توجه بسیاری از محققان قرار گرفت و توسعه‌های متنوعی از آنها ارائه شد. به عنوان مثال، زاده در [۲۹] مفهوم مجموعه فازی نوع ۲ (T2FS)<sup>۴</sup> را به عنوان توسعه‌ای از مجموعه‌های فازی معمولی (مجموعه‌های فازی نوع ۱) معرفی کرد. در حقیقت، یک مجموعه فازی نوع ۲، یک مجموعه فازی است که درجه‌های عضویت آن مجموعه‌های فازی نوع ۱ بر بازه [۰, ۱]<sup>۵</sup> می‌باشند. در [۲۹]، همچنین مفهوم مجموعه‌های فازی بازه مقدار (IVFSs)<sup>۶</sup> نیز معرفی شد. در یک مجموعه فازی بازه مقدار، هر عضو مجموعه، می‌تواند با یک درجه عضویت بازه‌ای که در واقع زیربازه‌ای از [۰, ۱]<sup>۷</sup> است به مجموعه تعلق داشته باشد. در سال ۱۹۸۶، آتاناسوف<sup>۸</sup>، توسعه‌ای دیگر از مجموعه‌های فازی را تحت عنوان مجموعه‌های فازی شهودی (IFSSs)<sup>۹</sup> معرفی کرد [۱]. در یک مجموعه فازی شهودی، هر عضو مجموعه می‌تواند با یک درجه عضویت و یک درجه عدم عضویت که مقادیری از بازه [۰, ۱]<sup>۱۰</sup> هستند به مجموعه تعلق داشته باشد. تورا<sup>۱۱</sup>، و ناروکاوا<sup>۱۲</sup>، در سال ۲۰۰۹ و تورا در سال ۲۰۱۰، با توجه به این نکته که ممکن است مجموعه‌ای از مقادیر به عنوان درجه عضویت یک عضو در یک مجموعه وجود داشته باشد، مفهوم مجموعه‌های فازی مردد (HFSs)<sup>۱۳</sup> را معرفی کردند [۲۰، ۲۱]. همان‌طور که بیان شد، در یک مجموعه فازی مردد، هر عضو مجموعه می‌تواند با در نظر گرفتن مجموعه‌ای از درجه‌های عضویت که مقادیری از بازه [۰, ۱]<sup>۱۰</sup> می‌باشند، متعلق به مجموعه باشد.

<sup>۱</sup>L. A. ZADEH

<sup>۲</sup>Fuzzy Sets

<sup>۳</sup>Type-2 Fuzzy Set

<sup>۴</sup>Interval-Valued Fuzzy Sets

<sup>۵</sup>Atanassov

<sup>۶</sup>Intuitionistic Fuzzy Sets

<sup>۷</sup>Torra

<sup>۸</sup>Narukawa

<sup>۹</sup>Hesitant Fuzzy Sets

فاصله و شباهت، مفاهیمی حیاتی در بسیاری از کاربردهای علمی هستند. معیارهای اندازهگیری فاصله و شباهت، در زمینه‌های مختلف همچون تصمیم‌گیری، تشخیص الگو، یادگیری ماشین و پیش‌بینی بازار، به شدت مورد نیاز هستند. با توجه به اهمیت این معیارها، تحقیقات متعددی به بررسی و معرفی معیارهای فاصله و شباهت برای مجموعه‌های فازی و تουسعه‌های آنها پرداخته‌اند. به عنوان مثال، در [۵]، دو روش برای تعریف فاصله بین مجموعه‌های فازی ارائه شده است که یکی از آنها در [۱۴] بهبود یافته است. در [۲۷]، تعاریف اصلی معیارهای فاصله و شباهت برای مجموعه‌های فازی ارائه شده و همچنین روابط بین این معیارها مورد بررسی قرار گرفته است. در [۱۲] چندین معیار شباهت برای مجموعه‌های فازی ارائه شده است. در [۳]، یک فاصله هاسدورف بهبود یافته برای مجموعه‌های فازی ارائه شده است. در [۸]، معیار فاصله و شباهت جدیدی برای مجموعه‌های فازی نوع ۲ ارائه شده. در [۱۶]، با در نظر گرفتن تابع حاشیه واریانس برای مجموعه‌های فازی نوع ۲، معیارهای فاصله جدیدی برای این مجموعه‌ها معرفی شده است. در [۱۸]، با ارائه یک نمایش هندسی برای مجموعه‌های فازی شهودی، معیارهایی برای اندازهگیری فاصله بین این مجموعه‌ها تعریف شده‌اند. در [۲۲]، معیارهای فاصله و شباهت بهبود یافته‌ای برای مجموعه‌های فازی شهودی ارائه شده است. در [۱۳] چند معیار شباهت جدید برای مجموعه‌های فازی شهودی ارائه شده است. در [۲۵]، مروری جامع از معیارهای فاصله و شباهت برای مجموعه‌های فازی شهودی ارائه شده است. برخی از معیارهای فاصله و شباهت پیوسته برای این مجموعه‌ها معرفی شده است. در [۲۶]، معیارهای فاصله متنوعی برای مجموعه‌های فازی مردد ارائه شده است. در [۳۱]، با تعریف یک اندیس تردید جدید برای مجموعه‌های فازی مردد، روش‌های جدید برای اندازهگیری فاصله و شباهت برای این مجموعه‌ها معرفی شده است.

با توجه به مطالب فوق، واضح است که معیارهای فاصله و شباهت اهمیت فراوانی برای محققین دارند. از این‌رو، در این مقاله، تعاریف پایه‌ای مجموعه‌های فازی، فازی بازه مقدار، فازی نوع ۲، فازی شهودی و فازی مردد و همچنین برخی از معیارهای فاصله و شباهت معرفی شده برای این مجموعه‌ها مورد بررسی قرار گرفته است.

سازمان‌دهی این مقاله به شرح زیر است:

در بخش ۲، تعاریف مورد نیاز از مجموعه‌های فازی و برخی از توسعه‌های آنها بررسی شده است. در بخش ۳، برخی از معیارهای فاصله و شباهت برای این مجموعه‌ها مورد بررسی قرار گرفته است. سرانجام، بخش ۴ به نتیجه‌گیری اختصاص یافته است.

## ۲ مجموعه‌های فازی و برخی از توسعه‌های آنها

در این بخش، تعاریف پایه‌ای از مجموعه‌های فازی و برخی از توسعه‌های آنها ارائه می‌شوند.

### ۱.۲ مجموعه‌های فازی

با استفاده از مجموعه‌های فازی، می‌توان مفاهیم مبهمی همچون "دمای زیاد"، "مرد جوان" و "ارتفاع زیاد" را به صورت رسمی تعریف نمود. با فرض اینکه  $X$  یک مجموعه شامل عناصر (اشیاء) تحت عنوان مجموعه مرجع باشد، یک مجموعه فازی همچون  $A$  در  $X$  به صورت زیر تعریف می‌شود:

تعریف ۱.۲ [۲۸] مجموعه فازی  $A$  در  $X$  به شکل زیر نمایش داده می‌شود:

$$A = \{< x, \mu_A(x) > \mid x \in X\} \quad (1)$$

که [۱]  $\mu_A : X \rightarrow [0, 1]$  تابع عضویت مجموعه فازی  $A$  نامیده شده و به هر عضو  $x \in X$  درجه عضویت آن را در مجموعه  $A$  نسبت می‌دهد.

می‌توان سه حالت زیر را برای درجه عضویت  $x \in X$  در مجموعه  $A$  در نظر گرفت [۱۵]:

۱.  $\mu_A(x) = 1$ : به معنای عضویت کامل  $x$  در مجموعه فازی  $A$  می‌باشد.

۲.  $\mu_A(x) = 0$ : به معنای عدم عضویت  $x$  در مجموعه فازی  $A$  می‌باشد.

۳.  $0 < \mu_A(x) < 1$ : به معنای عضویت جزئی  $x$  در مجموعه فازی  $A$  می‌باشد.

مثال ۲.۰.۲. [۱۵] با فرض اینکه  $X = \mathbb{N}$  مجموعه اعداد طبیعی باشد، می‌توان مجموعه اعداد طبیعی "نزدیک به عدد ۷" را با تعریف مجموعه فازی  $A \subseteq X$  به صورت زیر نشان داد:

$$A = \frac{۳}{۴} + \frac{۳}{۵} + \frac{۳}{۶} + \frac{۱}{۷} + \frac{۳}{۸} + \frac{۳}{۹} + \frac{۳}{۱۰} \quad (۲)$$

مثال ۳.۰.۲. [۱۵] با فرض اینکه  $X = \mathbb{R}$  مجموعه اعداد حقیقی باشد، می‌توان با در نظر گرفتن یک تابع عضویت به شکل  $\mu_A(x) = \frac{۱}{1+(x-7)^۲}$ ، مجموعه اعداد حقیقی "نزدیک به عدد ۷" را به صورت مجموعه فازی تعریف شده در معادله ۵ نشان داد.

$$A = \int_X \frac{[1 + (x - 7)^2]^{-1}}{x} \quad (۳)$$

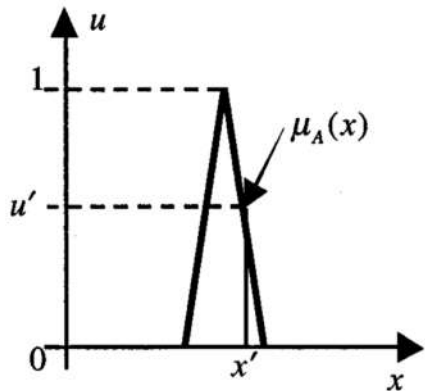
## ۲.۰.۲ مجموعه‌های فازی نوع ۲

پس از معرفی مجموعه‌های فازی، توسعه‌ای از آنها تحت عنوان مجموعه‌های فازی نوع ۲ توسط زاده معرفی شد. در حقیقت، مجموعه فازی نوع ۲، یک مجموعه فازی است که درجه‌های عضویت آن مجموعه‌های فازی نوع ۱ بر بازه  $[۰, ۱]$  می‌باشند.

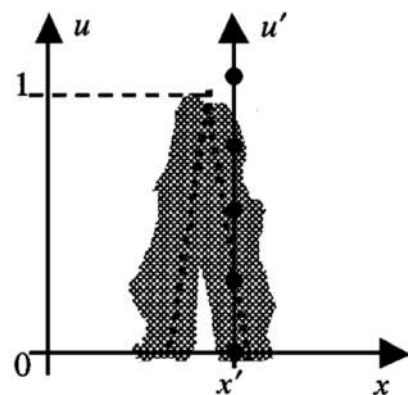
با توجه به تعاریف ارائه شده در [۱۰] می‌توان مجموعه‌های فازی نوع ۲ را به صورت زیر توصیف کرد:

شكل ۱ (الف) یک تابع عضویت نوع ۱ را نشان می‌دهد. با تغییر مکان نقاط قرارگرفته روی مثلث به سمت راست یا چپ، تابع عضویت نوع ۱ تیره شده، همچون شکل ۱ (ب) تشکیل می‌شود. حال، به ازای یک مقدار خاص از  $x$  همچون  $x'$ ، تابع عضویت می‌تواند هر مقداری از خط عمود را که در ناحیه تیره شده قرار گرفته است، اختیار کند. با انجام این عمل برای هر  $x \in X$ ، یک تابع عضویت درجه ۲ ساخته خواهد شد که یک مجموعه فازی نوع ۲ را مشخص می‌کند.

تعريف ۴.۰.۲. [۱۰] یک مجموعه فازی نوع ۲ همچون  $\tilde{A}$ ، با یک تابع عضویت نوع ۲، مانند  $\mu_{\tilde{A}}(x, u)$  که  $x \in X$  و  $u \in J_x \subseteq [۰, ۱]$  می‌باشد مشخص می‌شود. بنابراین، می‌توان  $\tilde{A}$  را



(الف)



(ب)

شکل ۱: (الف) تابع عضویت نوع ۱ و (ب) تابع عضویت نوع ۱ تیره شده، شامل گستته‌سازی به ازای  $x = x'$

به صورت زیر نمایش داد:

$$\tilde{A} = \{(x, u), \mu_{\tilde{A}}(x, u)) | \forall x \in X, \forall u \in J_x \subseteq [0, 1]\} \quad (4)$$

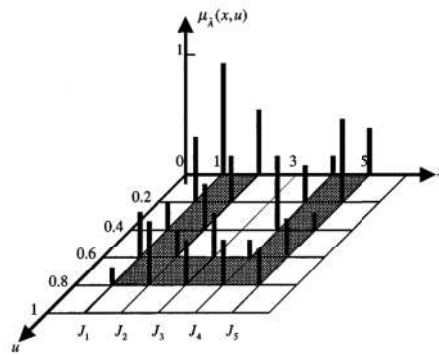
که  $1 \leq \mu_{\tilde{A}}(x, u) \leq 1^{\circ}$  می‌باشد. این مجموعه فازی نوع ۲ را به شکل زیر نیز می‌توان نمایش

داد:

$$\tilde{A} = \int_{x \in X} \int_{u \in J_x} \mu_{\tilde{A}}(x, u) / (x, u), \quad J_x \subseteq [0, 1] \quad (5)$$

که  $\int$  نشان دهنده اجتماع بر تمامی  $x$  و  $u$ -های قابل قبول می‌باشد. در صورتی که مجموعه مرجع یک مجموعه گسسته باشد، نماد  $\int$  با نماد  $\sum$  جایگزین می‌شود.

**مثال ۵.۲.** با فرض اینکه  $X = \{1, 2, 3, 4, 5\}$  و  $U = \{0, 0/2, 0/4, 0/6, 0/8\}$  باشد، شکل ۲،  $\mu_{\tilde{A}}(x, u)$  را برای  $x$  و  $u$  گسسته نشان می‌دهد.



شکل ۲: مثالی از یک تابع عضویت درجه ۲

تعريف ۶.۲. [۱۰] برای هر مقدار از  $x$  (همچون  $x' = x$ )، صفحه‌ای ۲-بعدی که محورهای آن  $u$  و  $(x', u)$  هستند، یک برش عمودی از  $\mu_{\tilde{A}}(x, u)$  نامیده می‌شود. یک تابع عضویت ثانویه، یک برش عمودی از  $\mu_{\tilde{A}}(x, u)$  است. بنابراین، یک تابع عضویت ثانویه، عبارت است از  $\forall u \in J_{x'} \subseteq [0, 1]$  که به صورت معادله ۶ نشان داده می‌شود:

$$\mu_{\tilde{A}}(x = x', u) \equiv \mu_{\tilde{A}}(x') = \int_{u \in J_{x'}} f_{x'}(u)/u, \quad J_{x'} \subseteq [0, 1] \quad (6)$$

که  $1 \leq f_{x'}(u) \leq 0$ . از آنجایی که این تعریف به ازای هر  $x' \in X$  ارائه شده،  $\mu_{\tilde{A}}(x)$  تابع عضویت ثانویه در نظر گرفته می‌شود. در حقیقت، تابع عضویت ثانویه، یک مجموعه فازی نوع ۱ است و تحت عنوان یک مجموعه ثانویه نیز به آن اشاره می‌شود.

براساس مفهوم مجموعه ثانویه، یک مجموعه فازی نوع ۲ را می‌توان به صورت اجتماع تمام مجموعه‌های ثانویه نمایش داد. به عنوان مثال، به روش برش عمودی، می‌توان  $\tilde{A}$  را به صورت

معادله ۷ یا معادله ۸ نشان داد:

$$\tilde{A} = \{(x, \mu_{\tilde{A}}(x)) | \forall x \in X\} \quad (7)$$

$$\tilde{A} = \int_{x \in X} \mu_{\tilde{A}}(x)/x = \int_{x \in X} \left[ \int_{u \in J_x} f_x(u)/u \right] / x, \quad J_x \subseteq [0, 1] \quad (8)$$

تعریف ۷.۲. ۱۰.] دامنه یک تابع عضویت ثانویه، عضویت اولیه  $x$  نامیده می‌شود. در معادله ۸، عضویت اولیه  $x$  نامیده شده و برای هر  $x \in X$ ,  $J_x \subseteq [0, 1]$  می‌باشد.

تعریف ۸.۲. ۱۰.] مقدار یک تابع عضویت ثانویه، درجه ثانویه نامیده می‌شود. در معادله ۸،  $f_x(u)$  یک درجه ثانویه و در معادله ۴،  $\mu_{\tilde{A}}(x', u')$  یک درجه ثانویه است.

تعریف ۹.۲. ۱۰.] عدم قطعیت موجود در عضویت اولیه مجموعه فازی نوع ۲، شامل یک ناحیه محدود است که با عنوان ردپای عدم قطعیت (FOU)<sup>۱۰</sup> شناخته می‌شود. در واقع، FOU عبارت است از اجتماع تمام عضویت‌های اولیه:  $FOU(\tilde{A}) = \bigcup_{x \in X} J_x$ .

تعریف ۱۰.۲. ۱۰.] یک مجموعه فازی نوع ۱ نیز می‌تواند به صورت یک مجموعه فازی نوع ۲ نمایش داده شود. نمایش نوع ۲ یک مجموعه فازی نوع ۱، به صورت  $x/(1/\mu_F(x))$  یا  $1/\mu_F(x)$  برای هر  $x \in X$  می‌باشد. نماد  $1/\mu_F(x)$  به معنای این است که تابع عضویت ثانویه تنها یک مقدار دامنه خود دارد، یعنی درجه عضویت اولیه  $(x/\mu_F(x))$  که درجه ثانویه برابر با ۱ می‌باشد.

مثال ۱۱.۲. ۱۵.] به عنوان مثال، با درنظر گرفتن  $\{1, 2, 3\}$ ،  $X = \{0.2, 0.5, 0.7\}$ ،  $J_{x_1} = \{0.1, 0.3, 0.5\}$  و  $J_{x_2} = \{0.5, 1\}$  و با نسبت دادن درجه ثانویه مناسب به اعضای مجموعه‌های  $J_{x_1}$  و  $J_{x_2}$  می‌توان یک مجموعه فازی نوع ۲ به شکل زیر تعریف کرد:

$$\tilde{A} = \frac{\frac{0.5}{0.2} + \frac{1}{0.5} + \frac{0.5}{0.7}}{1} + \frac{\frac{0.5}{0.5} + \frac{1}{1}}{2} + \frac{\frac{0.5}{0.7} + \frac{1}{0.5}}{3} \quad (9)$$

---

<sup>10</sup>Footprint Of Uncertainty

### ۳.۲ مجموعه‌های فازی بازه مقدار

در بسیاری از کاربردهای دنیای واقعی، اختصاص یک مقدار از بازه  $[0, 1]$  به عنوان درجه عضویت برای یک عضو، امری مشکل بوده و در نظر گرفتن یک بازه به عنوان درجه عضویت مطلوب‌تر به نظر می‌رسد. از اینرو، زاده مفهوم مجموعه‌های فازی بازه مقدار را به عنوان توسعه‌ای از مجموعه‌های فازی نوع ۱ معرفی کرد. با توجه به تعریفی که در [۶] ارائه شده است، می‌توان مجموعه فازی بازه مقدار را به صورت زیر توصیف کرد:

تعریف ۱۲.۲. [۶] یک مجموعه فازی بازه مقدار همچون  $A$  بر مجموعه مرجع  $X$ ، به صورت زیر تعریف می‌شود:

$$A \triangleq \{(x, [\mu_A^L(x), \mu_A^U(x)])\}, \quad x \in X \quad (10)$$

$$\mu_A^L, \mu_A^U : X \rightarrow [0, 1]; \quad \forall x \in X, \mu_A^L(x) \leq \mu_A^U(x) \quad (11)$$

با تعریف  $(\bar{\mu}_A(x))$  به صورت  $[\mu_A^L(x), \mu_A^U(x)]$ ، و همچنین با فرض اینکه  $D[0, 1]$  خانواده تمام بازه‌های بسته در بازه  $[0, 1]$  باشد، برای هر  $x \in X$ ،  $\bar{\mu}_A(x) \in D[0, 1]$  خواهد بود. بنابراین، عبارت ۱۰ به شکل زیر تبدیل خواهد شد:

$$A \triangleq \{(x, \bar{\mu}_A(x))\}, \quad \bar{\mu}_A : X \rightarrow D[0, 1], \quad x \in X \quad (12)$$

بنابراین، بازه  $[\mu_A^L(x), \mu_A^U(x)]$  به عنوان درجه عضویت به عضو  $x \in X$  اختصاص می‌یابد. همان‌طور که از تعریف فوق پیداست، یک مجموعه فازی بازه مقدار، توسط محدودیت‌های پایین و بالای  $\mu_A^L$  و  $\mu_A^U$  از تابع عضویت آن نمایش داده می‌شود.

مثال ۱۳.۲. به عنوان مثال، با در نظر گرفتن  $\{x_1, x_2, x_3\} = X$  و اختصاص یک زیر بازه از بازه  $[0, 1]$  به هریک از اعضای مجموعه  $X$  به عنوان درجه عضویت آنها، می‌توان یک مجموعه

فازی بازه مقدار به شکل زیر در نظر گرفت:

$$A = \{(x_1, [0.2, 0.5]), (x_2, [0.8, 1]), (x_3, [0.3, 0.5])\} \quad (13)$$

## ۴.۲ مجموعه‌های فازی شهودی

در اواسط دهه ۱۹۸۰، آتاناسوف مفهوم مجموعه فازی شهودی را معرفی کرد. برخلاف مجموعه‌های فازی نوع ۱، که در آنها عدم قطعیت تنها با در نظر گرفتن درجه عضویت، مدل‌سازی می‌شود، در یک مجموعه فازی شهودی، برای هر عضو، درجه عضویت و درجه عدم عضویت که هر دو اعدادی از بازه  $[0, 1]$  بوده و مجموع آنها لزوماً برابر با ۱ نمی‌باشد، در نظر گرفته می‌شوند.

**تعريف ۱۴.۲.** [۱] یک مجموعه فازی شهودی همچون  $A$  در مجموعه مرجع  $X$  به صورت زیر تعریف می‌شود:

$$A = \{< x, \mu_A(x), \nu_A(x) > | x \in X\} \quad (14)$$

که  $\mu_A$  و  $\nu_A$  به صورت زیر تعریف می‌شوند:

$$\mu_A : X \rightarrow [0, 1]$$

$$\nu_A : X \rightarrow [0, 1]$$

$$0 \leq \mu_A(x) + \nu_A(x) \leq 1 \quad \forall x \in X$$

اعداد  $\mu_A(x)$  و  $\nu_A(x)$  به ترتیب درجه عضویت و درجه عدم عضویت عضو  $x \in X$  در مجموعه  $A$  را نشان می‌دهند.

برای یک مجموعه فازی شهودی مانند  $A$ ، اندیس شهودی (حاشیه تردید)  $x$  در مجموعه  $A$  به صورت زیر تعریف می‌شود:

$$\pi_A(x) = 1 - \mu_A(x) - \nu_A(x) \quad (15)$$

در واقع،  $\pi_A(x)$  فقدان دانش در مورد اینکه  $x$  به مجموعه  $A$  تعلق دارد یا خیر را نشان می‌دهد. واضح است که برای هر  $x \in X$ ،  $1 \leq \pi_A(x) \leq 0$  بوده و همچنین، برای یک مجموعه فازی مانند  $A'$ ، معادله زیر برقرار است:

$$\pi_{A'}(x) = 1 - \mu_{A'}(x) - [1 - \mu_{A'}(x)] = 0 \quad (16)$$

استفاده از مجموعه‌های فازی شهودی به جای مجموعه‌های فازی، منجر به افزایش درجه آزادی (درجه عدم عضویت و حاشیه تردید) در توصیف مجموعه خواهد شد. چنین توسعه‌ای از مجموعه‌های فازی، امکان بیشتری برای نمایش عدم قطعیت را فراهم کرده که منجر به توصیف بسیاری از مسائل دنیای واقعی به روشنی مناسب‌تر خواهد شد. لازم به ذکر است که در نظر گرفتن حاشیه تردید در بسیاری از زمینه‌های کاربردی همچون پردازش تصویر، طبقه‌بندی دسته‌های نامتوازن و همپوشان، تصمیم‌گیری گروهی، مذاکرات، رای دادن و دیگر زمینه‌ها، امری حیاتی است [۱۷].

**مثال ۱۵.۲.** [۱۷] فرض کنید  $X$  مجموعه تمام کشورهایی با دولت‌های انتخابی باشد. با فرض اینکه  $M(x)$  نشان دهنده درصد افرادی باشد که به دولت مورد نظر برای کشور  $x \in X$  رای داده‌اند، و همچنین با تعریف  $\frac{M(x)}{100} = \mu(x)$ ، مقدار  $1 - \mu(x) = \nu(x)$  نشان دهنده بخشی از رای دهنگان است که به دولت مورد نظر رای نداده‌اند. همان‌طور که واضح است، با استفاده از نظریه مجموعه‌های فازی نمی‌توان مقدار  $\nu(x)$  را با جزئیات بیشتری توصیف کرد. اما، در صورتی که  $\nu(x)$  متناظر با تعداد رای‌های داده شده به احزاب یا اشخاص دیگر تعریف شود، می‌توان بخشی از افراد را که رای نداده‌اند با مقدار  $\nu(x) - \mu(x) = 1 - \mu(x)$  نشان داد. بنابراین، مجموعه فازی شهودی  $\{< x, \mu(x), \nu(x) > | x \in X\}$  ساخته خواهد شد.

## ۵.۲ مجموعه‌های فازی مردد

مجموعه‌های فازی مردد، این امکان را فراهم می‌کنند که درجه عضویت یک عضو در یک مجموعه، به صورت چندین مقدار ممکن بین  $0$  و  $1$  نمایش داده شود. مجموعه فازی مردد را می‌توان به صورت زیر تعریف نمود:

تعريف ۱۶.۲. [۱۹، ۲۰] با در نظر گرفتن مجموعه  $X$  به عنوان مجموعه مرجع، یک HFS بر  $X$  به صورت تابعی است که وقتی بر  $X$  اعمال می‌شود، زیرمجموعه‌ای از بازه  $[0, 1]$  را بازمی‌گرداند. به منظور درک ساده‌تر، در [۲۳]، نماد ریاضی زیر برای مجموعه‌های فازی مردد ارائه شده است:

$$E = \{ \langle x, h_E(x) \rangle \mid x \in X \} \quad (17)$$

که  $(h_E(x))$  مجموعه‌ای از مقادیر در بازه  $[0, 1]$  بوده و درجه‌های عضویت ممکن برای  $X$  در مجموعه  $E$  را نشان می‌دهد. برای سادگی،  $h_E(x)$  عنصر فازی مردد نامیده می‌شود.

به منظور مقایسه عناصر فازی مردد، در [۲۳] روش مقایسه‌ای زیر پیشنهاد شده است:

تعريف ۱۷.۲. [۲۳] برای یک عنصر فازی مردد مانند  $h$ ،  $s(h) = \frac{1}{l_h} \sum_{\gamma \in h} \gamma$  امتیاز  $s(h)$  نامیده می‌شود که  $l_h$  نشان دهنده تعداد مقادیر موجود در  $h$  می‌باشد. برای دو عنصر فازی مردد مانند  $h_1$  و  $h_2$ ، اگر  $s(h_1) > s(h_2)$  باشد، آنگاه  $h_1$  از  $h_2$  برتر بوده و با  $h_1 > h_2$  نشان داده می‌شود. اگر  $s(h_1) = s(h_2)$  باشد، آنگاه  $h_1$  تفاوتی با  $h_2$  نداشته و با  $h_1 \sim h_2$  نشان داده می‌شود.

همان‌طور که مشخص است،  $s(h)$  مستقیماً به میانگین مقادیر موجود در  $h$  مرتبط است. بیشتر بودن مقدار میانگین، بیشتر بودن امتیاز و در نتیجه، بهتر بودن  $h$  را نتیجه می‌دهد. اما، تعريف فوق، حالتی را که دو عنصر فازی مردد امتیاز یکسان داشته اما درجه انحراف آنها متفاوت است، در نظر نمی‌گیرند [۴]. به منظور رفع این مشکل، در [۴] مفهوم درجه انحراف به صورت زیر تعریف شده است:

تعريف ۱۸.۲. [۴] برای یک عنصر فازی مردد مانند  $h$ ، درجه انحراف یعنی  $\sigma(h)$  به صورت زیر تعریف می‌شود:

$$\sigma(h) = \left[ \frac{1}{l_h} \sum_{\gamma \in h} (\gamma - s(h))^2 \right]^{\frac{1}{2}} \quad (18)$$

همان‌طور که مشاهده می‌شود،  $s(h)$  میانگین و  $\sigma(h)$  انحراف معیار است که درجه انحراف

بین مقادیر موجود در  $h$  تا میانگین آنها را نشان می‌دهد. براساس امتیاز و درجه انحراف، در [۴] روش زیر را برای مقایسه و رتبه‌بندی عناصر فازی مردد ارائه شده است:

**تعريف ۲۰.۲.** [۴] با فرض اینکه  $h_1$  و  $h_2$  دو عنصر فازی مردد،  $s(h_1)$  و  $s(h_2)$  به ترتیب امتیاز آنها، و  $\sigma(h_1)$  و  $\sigma(h_2)$  به ترتیب درجه انحراف آنها باشند. آنگاه می‌توان از روابط زیر برای مقایسه و رتبه‌بندی این عناصر استفاده کرد:

$$\bullet \text{ اگر } h_1 < h_2, s(h_1) < s(h_2) \quad \bullet$$

$$\bullet \text{ اگر } s(h_1) = s(h_2) \quad \bullet$$

$$1. \text{ اگر } h_1 = h_2 \quad \sigma(h_1) = \sigma(h_2)$$

$$2. \text{ اگر } h_1 > h_2 \quad \sigma(h_1) < \sigma(h_2)$$

$$3. \text{ اگر } h_1 < h_2 \quad \sigma(h_1) > \sigma(h_2)$$

**مثال ۲۰.۲.** [۲۶] به عنوان مثالی از کاربرد مجموعه‌های فازی مردد، دو تصمیم‌گیرنده را در نظر بگیرید که در مورد درجه عضویت یک عضو مانند  $x$  در یک مجموعه مانند  $A$  بحث می‌کنند، ممکن است یکی از آنها درجه عضویت  $0/4$  و دیگری درجه عضویت  $0/7$  را ترجیح دهد. بنابراین، مجموعه‌ای از درجه‌های عضویت برای عضو مورد نظر وجود دارد. یعنی می‌توان مجموعه  $\{0/7, 0/4\}$  را به عنوان درجه عضویت  $x$  در مجموعه  $A$  در نظر گرفت.

### ۳ معیارهای فاصله و شباهت برای مجموعه‌های فازی و برخی از توسعه‌های آن

به دلیل کاربرد معیارهای فاصله و شباهت در بسیاری از زمینه‌ها همچون تشخیص الگو، خوشبندی، استدلال تقریبی، پردازش تصویر، تشخیص پزشکی و تصمیم‌گیری، این معیارها در دهه‌های اخیر مورد توجه بسیاری از محققان قرار گرفته‌اند. همچنین، برای مجموعه‌های فازی و توسعه‌های آنها نیز معیارهای فاصله و شباهت متنوعی ارائه شده است که این بخش به بررسی برخی از آنها اختصاص یافته است.

### ۱.۳ معیارهای فاصله و شباهت برای مجموعه‌های فازی

در این بخش، تعاریف اصلی مرتبط با معیارهای فاصله و شباهت برای مجموعه‌های فازی و همچنین، برخی از ارتباط‌های پایه‌ای بین این معیارها نیز مورد بررسی قرار خواهد گرفت. با فرض اینکه  $\mathcal{F}(X)$  دسته تمام مجموعه‌های فازی بر  $X$  و  $\mathcal{P}(X)$  دسته تمام مجموعه‌های قطعی بر  $X$  باشد، تعاریف اصلی معیارهای فاصله و شباهت برای مجموعه‌های فازی به صورت زیر ارائه خواهد شد:

**تعریف ۱.۳** [۲۷] یک تابع حقیقی همچون  $d : \mathcal{F}^2 \rightarrow \mathbb{R}^+$  یک معیار فاصله بر  $\mathcal{F}$  نامیده می‌شود اگر در شرایط زیر صدق کند:

$$A, B \in \mathcal{F} \text{ برای هر } d(A, B) = d(B, A) \quad .1$$

$$A \in \mathcal{F} \text{ برای هر } d(A, A) = 0 \quad .2$$

$$D \in \mathcal{P}(X) \text{ برای هر } d(D, D^c) = \max_{A, B \in \mathcal{F}} d(A, B) \quad .3$$

و  $d(A, B) \leq d(A, C)$  آنگاه  $A \subset B \subset C$  اگر  $A, B, C \in \mathcal{F}$  برای هر  $d(A, B) \leq d(A, C)$  و  $d(B, C) \leq d(A, C)$

**تعریف ۲.۳** [۲۷] یک تابع حقیقی همچون  $s : \mathcal{F}^2 \rightarrow \mathbb{R}^+$  یک معیار شباهت بر  $\mathcal{F}$  نامیده می‌شود اگر در شرایط زیر صدق کند:

$$A, B \in \mathcal{F} \text{ برای هر } s(A, B) = s(B, A) \quad .1$$

$$D \in \mathcal{P}(X) \text{ برای هر } s(D, D^c) = 0 \quad .2$$

$$C \in \mathcal{F} \text{ برای هر } s(C, C) = \max_{A, B \in \mathcal{F}} s(A, B) \quad .3$$

و  $s(A, B) \geq s(A, C)$  آنگاه  $A \subset B \subset C$  اگر  $A, B, C \in \mathcal{F}$  برای هر  $s(A, B) \geq s(A, C)$  و  $s(B, C) \geq s(A, C)$

**تعريف ۳.۳.** [۲۷] اگر معیار فاصله  $d$  بر  $\mathcal{F}$  در شرط  $1 \max_{A,B \in \mathcal{F}} d(A, B) = 1$  صدق کند، آنگاه  $d$  یک معیار فاصله نرمال بر  $\mathcal{F}$  نامیده می‌شود.

**گزاره ۴.۳.** [۲۷] اگر  $d$  یک معیار فاصله بر  $\mathcal{F}$  باشد، آنگاه  $\hat{d}$  که به صورت معادله ۱۹ تعریف می‌شود، یک معیار فاصله نرمال بر  $\mathcal{F}$  می‌باشد.

$$\hat{d}(A, B) = \frac{d(A, B)}{\max_{C,D \in \mathcal{F}} d(C, D)}, \quad \forall A, B \in \mathcal{F} \quad (19)$$

**تعريف ۵.۳.** [۲۷] اگر معیار شباهت  $s$  بر  $\mathcal{F}$  در شرط  $1 \max_{A,B \in \mathcal{F}} s(A, B) = 1$  صدق کند، آنگاه  $s$  یک معیار شباهت نرمال بر  $\mathcal{F}$  می‌باشد.

**گزاره ۶.۳.** [۲۷] اگر  $s$  یک معیار شباهت بر  $\mathcal{F}$  باشد، آنگاه  $\hat{s}$  که به صورت معادله ۲۰ تعریف می‌شود، یک معیار شباهت نرمال بر  $\mathcal{F}$  می‌باشد.

$$\hat{s}(A, B) = \frac{s(A, B)}{\max_{C,D \in \mathcal{F}} s(C, D)}, \quad \forall A, B \in \mathcal{F} \quad (20)$$

### ۱.۱.۳ معیارهای فاصله متداول برای مجموعه‌های فازی

با فرض اینکه  $A, B \in \mathcal{F}(X)$  دو مجموعه فازی بر مجموعه مرجع  $\{x_1, x_2, \dots, x_n\}$  باشند، معیارهای فاصله متداول برای آنها عبارتند از [۲]:

۱. فاصله همینگ:  $d_H(A, B) = \sum_{i=1}^n |\mu_A(x_i) - \mu_B(x_i)|$

۲. فاصله همینگ نرمال شده:  $d_{nH}(A, B) = \frac{1}{n} \sum_{i=1}^n |\mu_A(x_i) - \mu_B(x_i)|$

۳. فاصله اقلیدسی:  $d_E(A, B) = \sqrt{\sum_{i=1}^n (\mu_A(x_i) - \mu_B(x_i))^2}$

۴. فاصله اقلیدسی نرمال شده:  $d_{nE}(A, B) = \sqrt{\frac{1}{n} \sum_{i=1}^n (\mu_A(x_i) - \mu_B(x_i))^2}$

۵. فاصله بیشینه:  $d_\infty(A, B) = \max_{i=1}^n |\mu_A(x_i) - \mu_B(x_i)|$

همچنین، معیارهای فاصله و شباهت متنوع دیگری نیز برای مجموعه‌های فازی معرفی شده‌اند که در ادامه به بررسی برخی از آنها پرداخته می‌شود. به عنوان مثال، در [۳] یک معیار فاصله هاسدورف فازی برای مجموعه‌های فازی  $A$  و  $B$  ارائه شده است. پیش از بررسی فاصله مورد نظر، ابتدا تعاریف زیر که در [۳] ارائه شده‌اند مورد بررسی قرار می‌گیرند. با در نظر گرفتن مجموعه‌های فازی  $A$  و  $B$  بر تکیه‌گاه  $S$  که یک فضای متریک است، مجموعه غیر فازی  $A_{max}$  به صورت زیر تعریف می‌شود:

$$A_{max} \triangleq \{x | \mu_A(x) = \mu^*\} \quad (21)$$

که  $\mu^* \triangleq \max\{\mu_A(x) | x \in S\}$  بیشترین درجه عضویت در  $A$  می‌باشد. حال، خانواده مجموعه‌های غیر فازی  $A_t$  که  $t \in [0, 1]$  می‌باشد به صورت زیر تعریف می‌شود:

$$\begin{aligned} A_t &\triangleq \{x | \mu_A(x) \in [t, \mu^*]\} \quad \text{if } t \leq \mu^*, \\ &\triangleq A_\alpha \quad \text{if } t > \mu^* \end{aligned} \quad (22)$$

که  $A_\alpha$  یک مجموعه غیر فازی ناتپهی بر  $S$  است به طوری که  $A_\alpha \supset A_{max}$  و همچنین برای هر دو مجموعه فازی  $A$  و  $B$ ،  $A_\alpha = B_\alpha$  می‌باشد اگر و تنها اگر  $A_{max} = B_{max}$ .

حال، با فرض اینکه مجموعه‌های فازی تنها می‌توانند یک مجموعه گستته از مقادیر عضویت همچون  $t_1, t_2, \dots, t_m$  را اختیار کنند، و همچنین با فرض اینکه  $H(A_{t_i}, B_{t_i})$  فاصله هاسدورف قطعی بین مجموعه‌های  $A_{t_i}$  و  $B_{t_i}$  باشد، فاصله هاسدورف فازی بین مجموعه‌های  $A$  و  $B$  به صورت زیر تعریف می‌شود:

$$H_f(A, B) \triangleq \frac{\sum_{i=1}^m t_i H(A_{t_i}, B_{t_i})}{\sum_{i=1}^m t_i} \quad (23)$$

همچنین، معیارهای شباهت متنوعی برای مجموعه‌های فازی ارائه شده‌اند که در ادامه به مرور برخی از آنها پرداخته شده است:

در [۱۱] معيارهای شباخت زیر ارائه شده‌اند:

$$s_{FS}^1(A, B) = \frac{\sum_{i=1}^n \min(\mu_A(x_i), \mu_B(x_i))}{\sum_{i=1}^n \max(\mu_A(x_i), \mu_B(x_i))} \quad (۲۴)$$

$$s_{FS}^2(A, B) = 1 - \max_{1 \leq i \leq n} |\mu_A(x_i) - \mu_B(x_i)| \quad (۲۵)$$

$$s_{FS}^3(A, B) = 1 - \frac{\sum_{i=1}^n |\mu_A(x_i) - \mu_B(x_i)|}{\sum_{i=1}^n (\mu_A(x_i) + \mu_B(x_i))} \quad (۲۶)$$

در [۹] معيار شباخت زیر برای مجموعه‌های فازی ارائه شده است:

$$s_{FS}^4(A, B) = \max_{1 \leq i \leq n} \min(\mu_A(x_i), \mu_B(x_i)) \quad (۲۷)$$

در [۲۱] دو معيار شباخت برای مجموعه‌های فازی، به شکل معادله‌های (۲۸) و (۲۹) تعریف شده‌اند:

$$s_{FS}^5(A, B) = \frac{\sum_{i=1}^n (1 - |\mu_A(x_i) - \mu_B(x_i)|)}{n} \quad (۲۸)$$

$$s_{FS}^6(A, B) = \frac{\sum_{i=1}^n \frac{\min(\mu_A(x_i), \mu_B(x_i))}{\max(\mu_A(x_i), \mu_B(x_i))}}{n} \quad (۲۹)$$

در [۱۲] یک معيار شباخت برای مجموعه‌های فازی به صورت معادله ۳۰ تعریف شده است:

$$s_{FS}^7(A, B) = \frac{|A \cap B|}{\max(|A|, |B|)} \quad (۳۰)$$

که  $|A|$  اندازه مجموعه‌ی  $A$  بوده و به صورت  $|A| = \sum_{x \in X} \mu_A(x)$  تعریف می‌شود. همان‌طور

که در [۱۲] بیان شده است، می‌توان معیار فوق را به شکل زیر نوشت:

$$s_{FS}^{\gamma}(A, B) = \frac{\sum_{i=1}^n \min(\mu_A(x_i), \mu_B(x_i))}{\max\left(\sum_{i=1}^n \mu_A(x_i), \sum_{i=1}^n \mu_B(x_i)\right)} \quad (31)$$

که  $\emptyset \neq A \neq \emptyset$  یا  $B \neq \emptyset$  می‌باشد.

همچنین، با فرض اینکه اعضای مجموعه مرجع وزن دار باشند، به صورتی که  $w_i$  وزن  $x_i$  به ازای  $1 \leq i \leq n$  و با شرط  $w_i \in [0, 1]$  باشد، در [۱۲] نسخه‌های وزن دار معیارهای تعریف شده در معادله‌های (۲۴)، (۲۵)، (۲۸) و (۳۱) به ترتیب به شکل معادله‌های زیر تعریف شده‌اند:

$$s_{FS}^{\wedge}(A, B) = \frac{\sum_{i=1}^n w_i \min(\mu_A(x_i), \mu_B(x_i))}{\sum_{i=1}^n w_i \max(\mu_A(x_i), \mu_B(x_i))} \quad (32)$$

$$s_{FS}^{\circ}(A, B) = 1 - \frac{\sum_{i=1}^n w_i |\mu_A(x_i) - \mu_B(x_i)|}{\sum_{i=1}^n w_i (\mu_A(x_i) + \mu_B(x_i))} \quad (33)$$

$$s_{FS}^{\circ\circ}(A, B) = \frac{\sum_{i=1}^n w_i (1 - |\mu_A(x_i) - \mu_B(x_i)|)}{\sum_{i=1}^n w_i} \quad (34)$$

$$s_{FS}^{11}(A, B) = \frac{\sum_{i=1}^n \frac{\min(\mu_A(x_i), \mu_B(x_i))}{\max(\mu_A(x_i), \mu_B(x_i))}}{\sum_{i=1}^n w_i} \quad (35)$$

$$s_{FS}^{12}(A, B) = \frac{\sum_{i=1}^n w_i \min(\mu_A(x_i), \mu_B(x_i))}{\max(\sum_{i=1}^n w_i \mu_A(x_i), \sum_{i=1}^n w_i \mu_B(x_i))} \quad (36)$$

## ۲.۳ فاصله و شباهت برای مجموعه‌های فازی نوع ۲

(در این مقاله، به منظور سهولت در نامگذاری، فاصله و شباهت برای مجموعه‌های فازی نوع ۲ به ترتیب با نمادهای  $d_{T2FS}$  و  $s_{T2FS}$  نمایش داده شده‌اند) در [۸] معیارهای شباهت و تعاریف اصلی و خواص این معیارها برای مجموعه‌های فازی نوع ۲ بیان شده است.

با فرض اینکه  $A$  و  $B$  دو مجموعه فازی بر مجموعه مرجع  $X$  باشند، با بررسی معیارهای فاصله هاسدورف و همینگ تعریف شده برای این مجموعه‌ها، مشخص است که این دو معیار از دیدگاه‌های متفاوتی استفاده می‌کنند. فاصله هاسدورف، از میانگین وزن دار اختلاف بین مجموعه‌های  $A_{t_i}$  و

استفاده کرده، در صورتی که، فاصله همینگ مجموع مبتنی بر اختلاف بین درجه‌های عضویت  $B_{t_i}$  و  $\mu_B(x_i)$  را مورد استفاده قرار می‌دهد. در [۱]، با ترکیب این دو دیدگاه، معیار فاصله جدیدی برای مجموعه‌های فازی نوع ۲ و سپس یک معیار شباهت جدید برای آنها تعریف شده است.

با فرض اینکه  $X$  مجموعه مرجع،  $\mathcal{F}_2(X)$  دسته تمام مجموعه‌های فازی نوع ۲ بر  $X$  و  $\mathcal{P}(X)$  دسته تمام مجموعه‌های قطعی بر  $X$  باشد، با توجه به تعاریف اصلی فاصله و شباهت برای مجموعه‌های فازی، این تعاریف برای مجموعه‌های فازی نوع ۲ به صورت زیر بیان شده‌اند: تعاریف اصلی معیار فاصله برای مجموعه‌های فازی نوع ۲: [۱]

$$\tilde{A}, \tilde{B} \in \mathcal{F}_2(X) \text{ برای هر } d_{T\gamma FS}(\tilde{A}, \tilde{B}) = d_{T\gamma FS}(\tilde{B}, \tilde{A}) .1$$

$$\tilde{A} \in \mathcal{F}_2(X) \text{ برای هر } d_{T\gamma FS}(\tilde{A}, \tilde{A}) = 0 .2$$

$$D \in \mathcal{P}(X) \text{ برای هر } d_{T\gamma FS}(D, D^c) = \max_{\tilde{A}, \tilde{B} \in \mathcal{F}_2(X)} d_{T\gamma FS}(\tilde{A}, \tilde{B}) .3$$

$$d_{T\gamma FS}(\tilde{A}, \tilde{B}) \leq \text{آنگاه } \tilde{A} \subset \tilde{B} \subset \tilde{C} \text{ اگر } \tilde{A}, \tilde{B}, \tilde{C} \in \mathcal{F}_2(X) .4$$

$$d_{T\gamma FS}(\tilde{B}, \tilde{C}) \leq d_{T\gamma FS}(\tilde{A}, \tilde{C}) \text{ و } d_{T\gamma FS}(\tilde{A}, \tilde{C})$$

تعاریف اصلی معیار شباهت برای مجموعه‌های فازی نوع ۲:

$$\tilde{A}, \tilde{B} \in \mathcal{F}_2(X) \text{ برای هر } s_{T\gamma FS}(\tilde{A}, \tilde{B}) = s_{T\gamma FS}(\tilde{B}, \tilde{A}) .1$$

$$D \in \mathcal{P}(X) \text{ برای هر } s_{T\gamma FS}(D, D^c) = 0 .2$$

$$\tilde{C} \in \mathcal{F}_2(X) \text{ برای هر } s_{T\gamma FS}(\tilde{C}, \tilde{C}) = \max_{\tilde{A}, \tilde{B} \in \mathcal{F}_2(X)} s_{T\gamma FS}(\tilde{A}, \tilde{B}) .3$$

$$s_{T\gamma FS}(\tilde{A}, \tilde{B}) \geq \text{آنگاه } \tilde{A} \subset \tilde{B} \subset \tilde{C} \text{ اگر } \tilde{A}, \tilde{B}, \tilde{C} \in \mathcal{F}_2(X) .4$$

$$s_{T\gamma FS}(\tilde{B}, \tilde{C}) \geq s_{T\gamma FS}(\tilde{A}, \tilde{C}) \text{ و } s_{T\gamma FS}(\tilde{A}, \tilde{C})$$

حال، با درنظرگرفتن دو مجموعه فازی نوع ۲،  $\tilde{A}$  و  $\tilde{B}$  بر مجموعه مرجع  $\{x_1, x_2, \dots, x_n\}$

معیار فاصله جدید بین این مجموعه به صورت زیر تعریف شده است:

$$d_{TFS}^{\lambda}(\tilde{A}, \tilde{B}) = \sum_{i=1}^n H_f(\mu_{\tilde{A}}(x_i), \mu_{\tilde{B}}(x_i)) \quad (37)$$

که  $H_f(\mu_{\tilde{A}}(x_i), \mu_{\tilde{B}}(x_i))$  فاصله هاسدورف فازی بین  $\mu_{\tilde{A}}(x_i)$  و  $\mu_{\tilde{B}}(x_i)$  می‌باشد. از آنجایی که درجه‌های عضویت  $\mu_{\tilde{A}}(x_i)$  و  $\mu_{\tilde{B}}(x_i)$  مجموعه‌های فازی نوع ۱ هستند، نتیجه می‌شود که:

$$\circ \leq H_f(\mu_{\tilde{A}}(x_i), \mu_{\tilde{B}}(x_i)) \leq 1, \quad \forall i \quad (38)$$

بنابراین:

$$\circ \leq d_{TFS}^{\lambda}(\tilde{A}, \tilde{B}) \leq n \quad (39)$$

به منظور تعریف معیار شباهت بین مجموعه‌های فازی نوع ۲، ابتدا فاصله نرمال شده به صورت معادله ۴۰ تعریف شده، سپس، معیار شباهت برای این مجموعه‌ها به صورت معادله ۴۱ تعریف می‌شود:

$$d_{TFS}^N(\tilde{A}, \tilde{B}) = \frac{d_{TFS}(\tilde{A}, \tilde{B})}{n} \quad (40)$$

$$s_{TFS}(\tilde{A}, \tilde{B}) = 1 - d_{TFS}^N(\tilde{A}, \tilde{B}) \quad (41)$$

در صورتی که  $X$  یک مجموعه مرجع پیوسته همچون  $X = [a, b]$  باشد، معیار فاصله بین  $\tilde{A}$  و  $\tilde{B}$  در صورتی که  $X$  به صورت زیر تعریف می‌گردد:

$$d_{TFS}^{\lambda}(\tilde{A}, \tilde{B}) = \int_a^b H_f(\mu_{\tilde{A}}(x), \mu_{\tilde{B}}(x)) dx \quad (42)$$

در [۱۶] معیارهای فاصله برای مجموعه‌های فازی نوع ۲ به صورت زیر تعریف شده اند:

با فرض اینکه برای هر  $x \in X$ ،  $f_x(u) = \mu_{\tilde{A}}(x, u)$  نشان دهنده (۱۰، ۱) برای هر  $u \in J_x \subseteq [0, 1]$  باشد، تابع حاشیه واریانس برای یک مجموعه فازی نوع ۲ به صورت تعريف زیر ارائه شده است:

**تعريف ۷.۳. ۱۶.** [۱۶] تابع حاشیه واریانس برای یک مجموعه فازی نوع ۲، به صورت تفاوت بین تابع عضویت اولیه و تابع عضویت ثانویه تعريف شده و با نماد  $\xi$  نشان داده می‌شود. یعنی، برای یک مجموعه فازی نوع ۲ همچون  $\tilde{A}$  برای هر  $i$  داریم:

$$\xi_{\tilde{A}} = |u_{\tilde{A}}(x_i) - f_{x_i}(u_{\tilde{A}})|$$

حال، فاصله‌های همینگ نرمال شده، همینگ وزن دار نرمال شده، اقلیدسی نرمال شده و اقلیدسی وزن دار نرمال شده برای مجموعه‌های فازی نوع ۲، به ترتیب به صورت زیر تعريف شده‌اند:

$$d_{T\forall FS}^{\text{م}}(\tilde{A}, \tilde{B}) = \frac{1}{n} \sum_{i=1}^n \left( |u_{\tilde{A}}(x_i) - u_{\tilde{B}}(x_i)| + |f_{x_i}(u_{\tilde{A}}) - g_{x_i}(u_{\tilde{B}})| + |\xi_{\tilde{A}}(x_i) - \xi_{\tilde{B}}(x_i)| \right) \quad (43)$$

$$d_{T\forall FS}^{\text{ز}}(\tilde{A}, \tilde{B}) = \frac{1}{n} \sum_{i=1}^n w_i \left( |u_{\tilde{A}}(x_i) - u_{\tilde{B}}(x_i)| + |f_{x_i}(u_{\tilde{A}}) - g_{x_i}(u_{\tilde{B}})| + |\xi_{\tilde{A}}(x_i) - \xi_{\tilde{B}}(x_i)| \right) \quad (44)$$

$$d_{T\forall FS}^{\text{آ}}(\tilde{A}, \tilde{B}) = \left[ \frac{1}{n} \sum_{i=1}^n \left( (u_{\tilde{A}}(x_i) - u_{\tilde{B}}(x_i))^{\gamma} + (f_{x_i}(u_{\tilde{A}}) - g_{x_i}(u_{\tilde{B}}))^{\gamma} + (\xi_{\tilde{A}}(x_i) - \xi_{\tilde{B}}(x_i))^{\gamma} \right) \right]^{\frac{1}{\gamma}} \quad (45)$$

$$d_{T\forall FS}^{\text{غ}}(\tilde{A}, \tilde{B}) = \left[ \frac{1}{n} \sum_{i=1}^n w_i \left( (u_{\tilde{A}}(x_i) - u_{\tilde{B}}(x_i))^{\gamma} + (f_{x_i}(u_{\tilde{A}}) - g_{x_i}(u_{\tilde{B}}))^{\gamma} + (\xi_{\tilde{A}}(x_i) - \xi_{\tilde{B}}(x_i))^{\gamma} \right) \right]^{\frac{1}{\gamma}} \quad (46)$$

### ۳.۳ فاصله و شباهت برای مجموعه‌های فازی بازه مقدار

(در این مقاله، به منظور سهولت در نامگذاری، فاصله و شباهت برای مجموعه‌های فازی بازه مقدار به ترتیب با نمادهای  $d_{IVFS}$  و  $s_{IVFS}$  نمایش داده شده‌اند) با در نظر گرفتن  $X = \{x_1, x_2, \dots, x_n\}$  به عنوان مجموعه مرجع و  $IVFSs$  به عنوان مجموعه تمامی زیرمجموعه‌های فازی بازه مقدار  $X$ ، در [۳۰]، معیارهای فاصله و شباهت برای مجموعه‌های فازی بازه مقدار معرفی شده‌اند. به عنوان مثال، فاصله‌های همینگ و اقلیدسی نرمال شده برای مجموعه‌های فازی بازه مقدار، به ترتیب به شکل معادله‌های زیر تعریف شده‌اند:

$$d_{IVFS}^1(A, B) = \frac{1}{2n} \sum_{i=1}^n \left( |\mu_A^L(x_i) - \mu_B^L(x_i)| + |\mu_A^U(x_i) - \mu_B^U(x_i)| \right) \quad (47)$$

$$d_{IVFS}^2(A, B) = \left[ \frac{1}{2n} \sum_{i=1}^n \left( (\mu_A^L(x_i) - \mu_B^L(x_i))^2 + (\mu_A^U(x_i) - \mu_B^U(x_i))^2 \right) \right]^{\frac{1}{2}} \quad (48)$$

قضیه ۸.۳. [۳۰] اگر  $d_{IVFS}$  یک معیار فاصله نرمال شده برای مجموعه‌های فازی بازه مقدار باشد، آنگاه  $s_{IVFS}(A, B) = 1 - d_{IVFS}(A, B)$  یک معیار شباهت برای مجموعه‌های فازی بازه مقدار  $IVFSs$ ،  $A, B \in IVFSs$ ، خواهد بود.

به عنوان مثال با در نظر گرفتن دو معیار فاصله فوق، معادله‌های زیر دو معیار شباهت برای مجموعه‌های فازی بازه مقدار می‌باشند:

$$s_{IVFS}^1(A, B) = 1 - \frac{1}{2n} \sum_{i=1}^n \left( |\mu_A^L(x_i) - \mu_B^L(x_i)| + |\mu_A^U(x_i) - \mu_B^U(x_i)| \right) \quad (49)$$

$$s_{IVFS}^2(A, B) = 1 - \left[ \frac{1}{2n} \sum_{i=1}^n \left( (\mu_A^L(x_i) - \mu_B^L(x_i))^2 + (\mu_A^U(x_i) - \mu_B^U(x_i))^2 \right) \right]^{\frac{1}{2}} \quad (50)$$

قضیه ۹.۳. [۳۰] با فرض اینکه  $f : [0, 1] \rightarrow [0, 1]$  یک تابع نزولی اکیدا یکنواخت و

یک معیار فاصله نرمال شده برای مجموعه های فازی بازه مقدار باشد، برای هر  $A, B \in IVFSs$  معادله زیر یک معیار شباهت برای مجموعه های فازی بازه مقدار  $A$  و  $B$  است.

$$s_{IVFS}(A, B) = \frac{f(d_{IVFS}(A, B)) - f(1)}{f(\circ) - f(1)} \quad (51)$$

□

اثبات. اثبات این قضیه در [۳۰] ارائه شده است.

با توجه به قضیه فوق، مساله، یافتن تابع مفید  $f$  است. در حالت کلی، ساده ترین تابع،  $f(x) = x - 1$  است. همچنین، با توجه به کاربردهایی در کاربردهایی همچون رابطه شباهت و تجزیه و تحلیل خوش در نظریه مجموعه های فازی، می توان  $f(x) = e^{-x}$  را انتخاب کرد. بنابراین، معیار شباهت متناظر با این عملگر، برای مجموعه های فازی بازه مقدار به صورت زیر تعریف می شود:

$$s_{IVFS}^{\ddagger}(A, B) = \frac{e^{-d_{IVFS}(A, B)} - e^{-1}}{1 - e^{-1}} \quad (52)$$

از طرف دیگر، با انتخاب تابع هایی همچون  $f(x) = \frac{1}{1+x}$  و  $f(x) = 1 - x^2$  نیز می توان به ترتیب معیارهای شباهت زیر را برای این مجموعه ها تعریف نمود:

$$s_{IVFS}^{\ddagger}(A, B) = \frac{1 - d_{IVFS}(A, B)}{1 + d_{IVFS}(A, B)} \quad (53)$$

$$s_{IVFS}^{\ddagger}(A, B) = 1 - d_{IVFS}^{\ddagger}(A, B) \quad (54)$$

همچنین، در [۳۲] معیارهای فاصله زیر برای مجموعه های فازی بازه مقدار معرفی شده اند:

$$d_{IVFS}^{\ddagger}(A, B) = \frac{1}{n} \sum_{i=1}^n \max\{|\mu_A^L(x_i) - \mu_B^L(x_i)|, |\mu_A^U(x_i) - \mu_B^U(x_i)|\} \quad (55)$$

$$d_{IVFS}^{\epsilon}(A, B) = \sqrt{\frac{1}{n} \sum_{i=1}^n \max\{(\mu_A^L(x_i) - \mu_B^L(x_i))^{\epsilon}, (\mu_A^U(x_i) - \mu_B^U(x_i))^{\epsilon}\}} \quad (56)$$

$$\begin{aligned} d_{IVFS}^{\delta}(A, B) &= \frac{1}{n} \sum_{i=1}^n \left[ \frac{|\mu_A^L(x_i) - \mu_B^L(x_i)| + |\mu_A^U(x_i) - \mu_B^U(x_i)|}{4} \right. \\ &\quad \left. + \frac{\max\{|\mu_A^L(x_i) - \mu_B^L(x_i)|, |\mu_A^U(x_i) - \mu_B^U(x_i)|\}}{2} \right] \end{aligned} \quad (57)$$

$$\begin{aligned} d_{IVFS}^{\xi}(A, B) &= \frac{1}{n} \sum_{i=1}^n w_i \left[ \frac{|\mu_A^L(x_i) - \mu_B^L(x_i)| + |\mu_A^U(x_i) - \mu_B^U(x_i)|}{4} \right. \\ &\quad \left. + \frac{\max\{|\mu_A^L(x_i) - \mu_B^L(x_i)|, |\mu_A^U(x_i) - \mu_B^U(x_i)|\}}{2} \right] / \sum_{i=1}^n w_i \end{aligned} \quad (58)$$

### ۴.۳ معیارهای فاصله و شباهت برای مجموعه‌های فازی شهودی

(در این مقاله، به منظور سهولت در نامگذاری، فاصله و شباهت برای مجموعه‌های فازی شهودی به ترتیب با نمادهای  $d_{IFS}$  و  $s_{IFS}$  نمایش داده شده‌اند) در [۱۸] با در نظر گرفتن نمایش هندسی مجموعه‌های فازی شهودی، چندین معیار فاصله و شباهت برای آنها معرفی شده است. شکل ۳، تفسیر هندسی مناسبی از مجموعه‌های فازی شهودی را نشان می‌دهد. در این شکل، مرجع  $E$  و زیرمجموعه  $F$  در فضای اقلیسی با مختصات دکارتی را در نظر گرفته شده‌اند. برای یک مجموعه فازی شهودی ثابت همچون  $A$ ، می‌توان یک تابع مانند  $f_A$  از  $E$  به  $F$  در نظر گرفت به صورتی که اگر  $x \in E$  باشد آنگاه نقطه  $p = f_A(x) \in F$  با مختصات  $\langle a', b' \rangle$  وجود دارد به طوری که  $a' \leq x \leq b'$  بوده و  $b' = \nu_A(x)$  و  $a' = \mu_A(x)$  می‌باشد.

چنین نمایش هندسی را می‌توان به عنوان مثالی از شروع یک مذاکره بین چند کارشناس در نظر گرفت. به عنوان مثال، در شکل ۴ کارشناس  $i$  به صورت یک نقطه با مختصات  $\langle \mu_i, \nu_i, \pi_i \rangle$  نشان داده شده است. کارشناس  $A$  ایده مورد بحث را به طور کامل پذیرفته است. کارشناس  $B$  ایده مورد نظر را به طوکامنل رد کرده است و کارشناس  $C$  کاملاً مردد است. در واقع، کارشناسانی که در قسمت  $AB$  قرار می‌گیرند،

نظرات ثابتی دارند (به عبارت دیگر، حاشیه‌های تردید آنها برابر با صفر است).

یک خط موازی با  $AB$ ، مجموعه‌ای از کارشناسان با سطح تردید یکسان را توصیف می‌کند.

به عنوان مثال، در شکل ۴ دو مجموعه با اندیس‌های شهودی  $\pi_m$  و  $\pi_n$  نشان داده شده‌اند که

$$\pi_n > \pi_m$$

به عبارت دیگر، شکل ۴ (مثلث  $ABC$ ) یک تصویر عمود از وضعیت واقعی (مثلث  $ABD$ )

نشان داده شده در شکل ۵ می‌باشد.

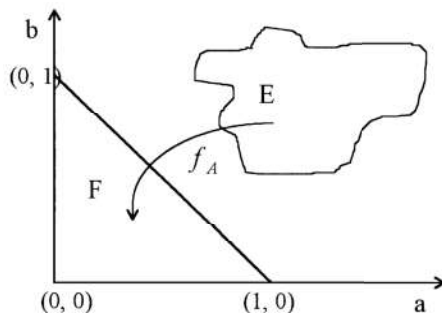
یک عضو از یک مجموعه فازی شهودی، مختصاتی به شکل  $\langle \mu_i, \nu_i, \pi_i \rangle$  دارد. بنابراین

یک نمایش طبیعی برای مجموعه فازی شهودی رسم یک مکعب (با لبه‌ای با طول ۱) می‌باشد.

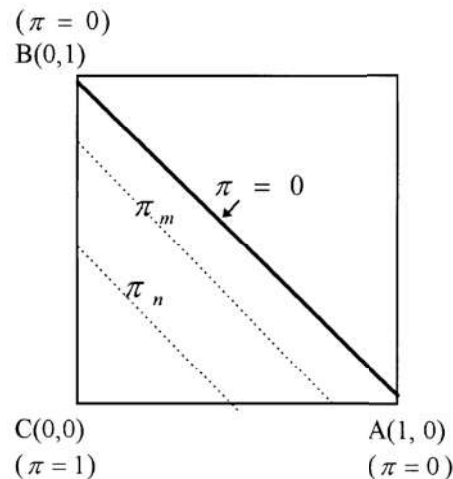
از طرفی، با توجه به رابطه  $\pi_A(x) = 1 - \mu_A(x) - \nu_A(x)$ ، مثلث  $ABD$  در شکل ۵ یک

مجموعه فازی شهودی را نشان می‌دهد. این نمایش از مجموعه فازی شهودی، انگیزه‌ای برای در نظر

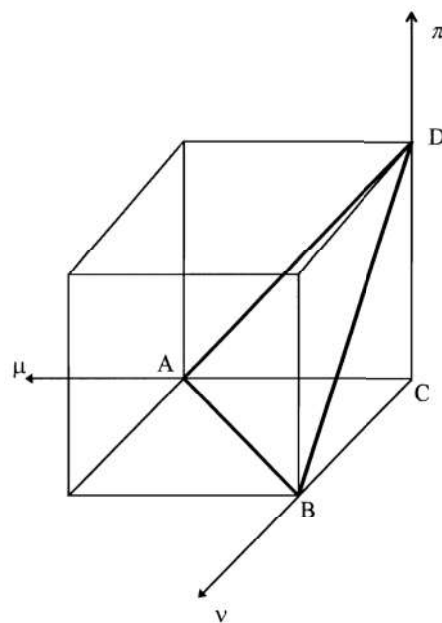
گرفتن فاصله‌های شهودی شد.



شکل ۳: نمایش هندسی یک مجموعه فازی شهودی



شکل ۴: یک تصویر عمود از نمایش واقعی یک مجموعه فازی شهودی



شکل ۵: یک نمایش سه بعدی از یک مجموعه فازی شهودی

از آنجایی که می‌توان هر مجموعه فازی مانند  $A'$  در  $X$  را به صورت یک مجموعه فازی شهودی

همچون  $A = \{< x, \mu_{A'}(x), 1 - \mu_{A'}(x) > | x \in X\}$  نمایش داد، با در نظر گرفتن چنین نمایشی، می‌توان معیارهای فاصله متداول برای مجموعه‌های فازی را به صورت زیر بازنویسی کرد:

به عنوان مثال، معیار فاصله همینگ به شکل زیر تبدیل خواهد شد:

$$\begin{aligned} d'_H(A, B) &= \sum_{i=1}^n (|\mu_A(x_i) - \mu_B(x_i)| + |\nu_A(x_i) - \nu_B(x_i)|) \\ &= \sum_{i=1}^n (|\mu_A(x_i) - \mu_B(x_i)| + |1 - \mu_A(x_i) - 1 + \mu_B(x_i)|) \\ &= 2 \sum_{i=1}^n |\mu_A(x_i) - \mu_B(x_i)| \end{aligned} \quad (59)$$

به طور مشابه، فاصله‌های همینگ نرمال شده، اقلیدسی و اقلیدسی نرمال شده نیز به صورت زیر بازنویسی می‌شوند:

$$d'_{nH}(A, B) = \frac{1}{n} d'(A, B) = \frac{1}{n} \sum_{i=1}^n |\mu_A(x_i) - \mu_B(x_i)| \quad (60)$$

$$d'_E(A, B) = \sqrt{\sum_{i=1}^n (\mu_A(x_i) - \mu_B(x_i))^2} \quad (61)$$

$$d'_{nE}(A, B) = \sqrt{\frac{1}{n} d'_E(A, B)^2} = \sqrt{\frac{1}{n} \sum_{i=1}^n (\mu_A(x_i) - \mu_B(x_i))^2} \quad (62)$$

به وضوح، روابط زیر برای معیارهای فوق برقرار هستند:

$$\circ \leq d'_H(A, B) \leq 2n \quad (63)$$

$$\circ \leq d'_{nH}(A, B) \leq 2 \quad (64)$$

$$\circ \leq d'_E(A, B) \leq \sqrt{2n} \quad (65)$$

$$\circ \leq d'_{nE}(A, B) \leq \sqrt{2} \quad (66)$$

همان‌طور که نشان داده شد، استفاده از نمایش مجموعه فازی شهودی متناظر با یک مجموعه فازی نوع ۱، به منظور بازنویسی معیارهای فاصله، تنها منجر به ضرب یک مقدار ثابت در معیار فاصله خواهد شد. اما، در ادامه نشان داده می‌شود که در نظر نگرفتن یکی از سه پارامتر ممکن است منجر به نتیجه اشتباه شود.

در واقع، برای دو مجموعه فازی شهودی همچون  $A$  و  $B$  در مجموعه مرجع،  $\{x_1, x_2, \dots, x_n\}$ ، معیار فاصله همینگ به صورت معادله زیر تعریف می‌شود:

$$d'_{IFS}(A, B) = \sum_{i=1}^n (|\mu_A(x_i) - \mu_B(x_i)| + |\nu_A(x_i) - \nu_B(x_i)| + |\pi_A(x_i) - \pi_B(x_i)|) \quad (67)$$

با در نظر گرفتن رابطه‌های زیر:

$$\pi_A(x_i) = 1 - \mu_A(x_i) - \nu_A(x_i) \quad \text{و} \quad \pi_B(x_i) = 1 - \mu_B(x_i) - \nu_B(x_i) \quad (68)$$

خواهیم داشت:

$$|\pi_A(x_i) - \pi_B(x_i)| = |1 - \mu_A(x_i) - \nu_A(x_i) - 1 + \mu_B(x_i) + \nu_B(x_i)| \\ \leq |\mu_B(x_i) - \mu_A(x_i)| + |\nu_B(x_i) - \nu_A(x_i)| \quad (69)$$

نامساوی (۶۹) نشان می‌دهد که سومین پارامتر در معادله (۶۷) نمی‌تواند نادیده گرفته شود. همچنین فاصله اقلیدسی بین دو مجموعه فازی شهودی  $A$  و  $B$  در مجموعه مرجع  $X = \{x_1, x_2, \dots, x_n\}$  در معادله (۶۸) نیز به صورت زیر تعریف می‌شود:

$$\begin{aligned} d_{IFS}^r(A, B) = & \left( \sum_{i=1}^n (\mu_A(x_i) - \mu_B(x_i))^r + (\nu_A(x_i) - \nu_B(x_i))^r \right. \\ & \left. + (\pi_A(x_i) - \pi_B(x_i))^r \right)^{\frac{1}{r}} \end{aligned} \quad (70)$$

با در نظر گرفتن رابطه (۶۸) خواهیم داشت:

$$\begin{aligned} (\pi_A(x_i) - \pi_B(x_i))^r &= (1 - \mu_A(x_i) - \nu_A(x_i) - 1 + \mu_B(x_i) + \nu_B(x_i))^r \\ &= (\mu_A(x_i) - \mu_B(x_i))^r + (\nu_A(x_i) - \nu_B(x_i))^r \\ &\quad + 2(\mu_A(x_i) - \mu_B(x_i))(\nu_A(x_i) - \nu_B(x_i)) \end{aligned} \quad (71)$$

که نشان دهندهٔ تاثیر پارامتر  $\pi$  بر نتیجهٔ نهایی حاصل از محاسبهٔ فاصله اقلیدسی می‌باشد. با در نظر داشتن معادله‌های (۶۳) تا (۶۶) و به منظور انطباق بیشتر با مفهوم نرمال‌سازی ریاضی، معیارهای فاصله زیر برای دو مجموعهٔ فازی شهودی  $A$  و  $B$  در مجموعهٔ مرجع  $X = \{x_1, x_2, \dots, x_n\}$  تعریف شده‌اند:

$$\begin{aligned} d_{IFS}^r(A, B) = & \frac{1}{r} \sum_{i=1}^n (|\mu_A(x_i) - \mu_B(x_i)| + |\nu_A(x_i) - \nu_B(x_i)| \\ & + |\pi_A(x_i) - \pi_B(x_i)|) \end{aligned} \quad (72)$$

$$\begin{aligned} d_{IFS}^{\gamma}(A, B) = & \left( \frac{1}{n} \sum_{i=1}^n (\mu_A(x_i) - \mu_B(x_i))^{\gamma} + (\nu_A(x_i) - \nu_B(x_i))^{\gamma} \right. \\ & \left. + (\pi_A(x_i) - \pi_B(x_i))^{\gamma} \right)^{\frac{1}{\gamma}} \end{aligned} \quad (73)$$

$$\begin{aligned} d_{IFS}^{\delta}(A, B) = & \frac{1}{n} \sum_{i=1}^n (|\mu_A(x_i) - \mu_B(x_i)| + |\nu_A(x_i) - \nu_B(x_i)| \\ & + |\pi_A(x_i) - \pi_B(x_i)|) \end{aligned} \quad (74)$$

$$\begin{aligned} d_{IFS}^{\theta}(A, B) = & \left( \frac{1}{n} \sum_{i=1}^n (\mu_A(x_i) - \mu_B(x_i))^{\theta} + (\nu_A(x_i) - \nu_B(x_i))^{\theta} \right. \\ & \left. + (\pi_A(x_i) - \pi_B(x_i))^{\theta} \right)^{\frac{1}{\theta}} \end{aligned} \quad (75)$$

در [۲۴] معیارهای فاصله (۷۴) و (۷۵) به صورت زیر توسعه پیدا کرده‌اند:

$$\begin{aligned} d_{IFS}^{\gamma}(A, B) = & \left[ \frac{1}{n} \sum_{i=1}^n (|\mu_A(x_i) - \mu_B(x_i)|^{\alpha} + |\nu_A(x_i) - \nu_B(x_i)|^{\alpha} \right. \\ & \left. + |\pi_A(x_i) - \pi_B(x_i)|^{\alpha}) \right]^{\frac{1}{\alpha}} \end{aligned} \quad (76)$$

که  $\alpha > 0$  می‌باشد.

در حالت خاص، اگر  $\alpha = 1$  باشد، معادله (۷۶) به معادله (۷۴) و اگر  $\alpha = 2$  باشد، به معادله (۷۵) تقلیل می‌یابد. و در صورتی که  $\alpha \rightarrow +\infty$ ، به شکل زیر تقلیل می‌یابد [۲۵]:

$$\begin{aligned} \lim_{\alpha \rightarrow +\infty} d_{IFS}^{\gamma}(A, B) = & \max_i \{|\mu_A(x_i) - \mu_B(x_i)|, |\nu_A(x_i) - \nu_B(x_i)| \\ & , |\pi_A(x_i) - \pi_B(x_i)|\} \end{aligned} \quad (77)$$

در [۲۴] یک معیار فاصله وزن دار به شکل زیر تعریف شده است:

$$\begin{aligned} d_{IFS}^{\wedge}(A, B) = & \left[ \frac{1}{\gamma} \sum_{i=1}^n w_i (|\mu_A(x_i) - \mu_B(x_i)|^\alpha + |\nu_A(x_i) - \nu_B(x_i)|^\alpha \right. \\ & \left. + |\pi_A(x_i) - \pi_B(x_i)|^\alpha) \right]^{\frac{1}{\alpha}} \end{aligned} \quad (78)$$

که  $\alpha > 0$  بوده و  $w = (w_1, w_2, \dots, w_n)^T$  و  $w_i \in [0, 1]$  بردار وزن با شرایط  $\sum_{i=1}^n w_i = 1$  می باشد.

در حالت خاص، اگر  $\alpha = 1$  باشد، معیار فاصله  $d_{IFS}^{\wedge}$  به معیار فاصله همینگ وزن دار و در صورتی که  $\alpha = 2$  باشد، به معیار فاصله اقلیدسی وزن دار به ترتیب به شکل معادله های (۷۹) و (۸۰) تقلیل می یابد.

$$\begin{aligned} d_{IFS}^{\wedge}(A, B) = & \frac{1}{\gamma} \sum_{i=1}^n w_i (|\mu_A(x_i) - \mu_B(x_i)| + |\nu_A(x_i) - \nu_B(x_i)| \\ & + |\pi_A(x_i) - \pi_B(x_i)|) \end{aligned} \quad (79)$$

$$\begin{aligned} d_{IFS}^{1^{\circ}}(A, B) = & \left[ \frac{1}{\gamma} \sum_{i=1}^n w_i ((\mu_A(x_i) - \mu_B(x_i))^2 + (\nu_A(x_i) - \nu_B(x_i))^2 \right. \\ & \left. + (\pi_A(x_i) - \pi_B(x_i))^2) \right]^{\frac{1}{2}} \end{aligned} \quad (80)$$

براساس معیار تعریف شده در معادله (۷۸)، معیار شباهت به صورت زیر تعریف می شود:

$$\begin{aligned} s_{IFS}^{\wedge}(A, B) = & 1 - \left[ \frac{1}{\gamma} \sum_{i=1}^n w_i (|\mu_A(x_i) - \mu_B(x_i)|^\alpha + |\nu_A(x_i) - \nu_B(x_i)|^\alpha \right. \\ & \left. + |\pi_A(x_i) - \pi_B(x_i)|^\alpha) \right]^{\frac{1}{\alpha}} \end{aligned} \quad (81)$$

در حالت خاص، اگر اعضا اهمیت یکسانی داشته باشند، یعنی  $w = (1/n, 1/n, \dots, 1/n)^T$  آنگاه معادله (۸۱) به شکل زیر تبدیل می‌شود:

$$\begin{aligned} s_{IFS}^{\gamma}(A, B) &= 1 - \left[ \frac{1}{n} \sum_{i=1}^n (|\mu_A(x_i) - \mu_B(x_i)|^\alpha + |\nu_A(x_i) - \nu_B(x_i)|^\alpha \right. \\ &\quad \left. + |\pi_A(x_i) - \pi_B(x_i)|^\alpha) \right]^{\frac{1}{\alpha}} \end{aligned} \quad (82)$$

اگر مجموعه مرجع و وزن عناصر پیوسته باشند، به صورتی که وزن  $[a, b]$  به شکل  $w(x)$  بوده که  $w(x) \in [0, 1]$  باشد، آنگاه بر اساس معادلات ۷۸ تا ۸۲ معیارهای فاصله و شباهت زیر تعریف می‌شوند [۲۵]:

$$\begin{aligned} d_{IFS}^{\gamma}(A, B) &= \left[ \frac{1}{2} \int_a^b w(x) \left( |\mu_A(x) - \mu_B(x)|^\alpha + |\nu_A(x) - \nu_B(x)|^\alpha \right. \right. \\ &\quad \left. \left. + |\pi_A(x) - \pi_B(x)|^\alpha \right) dx \right]^{\frac{1}{\alpha}} \end{aligned} \quad (83)$$

$$\begin{aligned} s_{IFS}^{\gamma}(A, B) &= 1 - \left[ \frac{1}{2} \int_a^b w(x) \left( |\mu_A(x) - \mu_B(x)|^\alpha + |\nu_A(x) - \nu_B(x)|^\alpha \right. \right. \\ &\quad \left. \left. + |\pi_A(x) - \pi_B(x)|^\alpha \right) dx \right]^{\frac{1}{\alpha}} \end{aligned} \quad (84)$$

اگر برای هر  $w = 1/(b-a)$ ،  $x \in [a, b]$  آنگاه دو معیار فوق به ترتیب به معیارهای زیر تبدیل می‌شوند:

$$\begin{aligned} d_{IFS}^{\gamma\gamma}(A, B) &= \left[ \frac{1}{2(b-a)} \int_a^b \left( |\mu_A(x) - \mu_B(x)|^\alpha + |\nu_A(x) - \nu_B(x)|^\alpha \right. \right. \\ &\quad \left. \left. + |\pi_A(x) - \pi_B(x)|^\alpha \right) dx \right]^{\frac{1}{\alpha}} \end{aligned} \quad (85)$$

$$s_{IFS}^*(A, B) = 1 - \left[ \frac{1}{2(b-a)} \int_a^b \left( |\mu_A(x) - \mu_B(x)|^\alpha + |\nu_A(x) - \nu_B(x)|^\alpha + |\pi_A(x) - \pi_B(x)|^\alpha \right) dx \right]^{\frac{1}{\alpha}} \quad (86)$$

در [۸۵] برخی از معیارهای فاصله مبتنی بر معیار هاسدورف، که در واقع توسعه‌هایی از فاصله‌های همینگ و اقلیدسی نرمال شده هستند، به صورت زیر تعریف شده‌اند:

۱- فاصله همینگ نرمال شده مبتنی بر متر هاسدورف:

(۸۷)

$$d_{IFS}^{13}(A, B) = \frac{1}{n} \sum_{i=1}^n \max\{|\mu_A(x_i) - \mu_B(x_i)|, |\nu_A(x_i) - \nu_B(x_i)|\}$$

۲- فاصله اقلیدسی نرمال شده مبتنی بر متر هاسدورف:

(۸۸)

$$d_{IFS}^4(A, B) = \left( \frac{1}{n} \sum_{i=1}^n \max\{(\mu_A(x_i) - \mu_B(x_i))^2, (\nu_A(x_i) - \nu_B(x_i))^2\} \right)^{\frac{1}{2}}$$

همچنین، نسخه‌های وزن دار معیارهای (۸۵) و (۸۸) نیز به صورت زیر تعریف می‌شوند:

۱- فاصله همینگ وزن دار مبتنی بر متر هاسدورف:

(۸۹)

$$d_{IFS}^{15}(A, B) = \sum_{i=1}^n w_i \max\{|\mu_A(x_i) - \mu_B(x_i)|, |\nu_A(x_i) - \nu_B(x_i)|\}$$

۲- فاصله اقلیدسی وزن دار مبتنی بر متر هاسدورف:

(۹۰)

$$d_{IFS}^4(A, B) = \left( \sum_{i=1}^n w_i \max\{(\mu_A(x_i) - \mu_B(x_i))^2, (\nu_A(x_i) - \nu_B(x_i))^2\} \right)^{\frac{1}{2}}$$

اگر مجموعه مرجع و وزن اعضا پیوسته باشند به صورتی که وزن  $[a, b]$ ، به شکل

$w(x)$  بوده که  $\int_a^b w(x)dx = 1$  و  $w(x) \in [0, 1]$  باشد، آنگاه فاصله اقلیدسی وزن دار پیوسته مبتنی بر متر هاسدورف به صورت زیر تعریف می شود [۲۵]:

$$d_{IFS}^V(A, B) = \left( \int_a^b w(x) \max\{(\mu_A(x) - \mu_B(x))^2, (\nu_A(x) - \nu_B(x))^2\} dx \right)^{\frac{1}{2}} \quad (91)$$

نسخه توسعه یافته معیار تعریف شده در معادله های (۹۰) و (۹۱) نیز به ترتیب به شکل معادله های زیر تعریف می شوند:

$$d_{IFS}^V(A, B) = \left[ \sum_{i=1}^n w_i \max\{(\mu_A(x_i) - \mu_B(x_i))^\alpha, (\nu_A(x_i) - \nu_B(x_i))^\alpha\} \right]^{\frac{1}{\alpha}}, \quad \alpha > 0 \quad (92)$$

$$d_{IFS}^V(A, B) = \left[ \int_a^b w(x) \max\{(\mu_A(x) - \mu_B(x))^\alpha, (\nu_A(x) - \nu_B(x))^\alpha\} dx \right]^{\frac{1}{\alpha}}, \quad \alpha > 0 \quad (93)$$

براساس دو معیار فوق، دو معیار شیاهت برای مجموعه های  $A$  و  $B$  به صورت زیر تعریف می شوند [۲۵]:

$$s_{IFS}^V(A, B) = 1 - \left[ \sum_{i=1}^n w_i \max\{(\mu_A(x_i) - \mu_B(x_i))^\alpha, (\nu_A(x_i) - \nu_B(x_i))^\alpha\} \right]^{\frac{1}{\alpha}}, \quad \alpha > 0 \quad (94)$$

$$s_{IFS}^{\varphi}(A, B) = 1 - \left[ \int_a^b w(x) \max\{(\mu_A(x) - \mu_B(x))^{\alpha}, (\nu_A(x) - \nu_B(x))^{\alpha}\} dx \right]^{\frac{1}{\alpha}}, \quad \alpha > 0. \quad (95)$$

اگر برای هر  $w(x) = 1/(b-a)$  و  $w = (1/n, 1/n, \dots, 1/n)$ ,  $x \in [a, b]$  باشد، آنگاه دو معیار شباهت فوق به ترتیب به شکل معادله‌های زیر تبدیل می‌شوند:

$$s_{IFS}^{\vee}(A, B) = 1 - \frac{1}{n^{\frac{1}{\alpha}}} \left[ \sum_{i=1}^n \max\{(\mu_A(x_i) - \mu_B(x_i))^{\alpha}, (\nu_A(x_i) - \nu_B(x_i))^{\alpha}\} \right]^{\frac{1}{\alpha}}, \quad \alpha > 0. \quad (96)$$

$$s_{IFS}^{\wedge}(A, B) = 1 - \frac{1}{(b-a)^{\frac{1}{\alpha}}} \left[ \int_a^b \max\{(\mu_A(x) - \mu_B(x))^{\alpha}, (\nu_A(x) - \nu_B(x))^{\alpha}\} dx \right]^{\frac{1}{\alpha}}, \quad \alpha > 0. \quad (97)$$

در [۲۲] بیان شده است که معیارهای فاصله  $d_{IFS}^{\varphi}$ ,  $d_{IFS}^{\wedge}$ ,  $d_{IFS}^{\vee}$  و  $d_{IFS}^{\circ}$  ممکن است در برخی از موارد عملکرد مناسبی نداشته باشند. به منظور غلبه بر مشکل این معیارها، معیار فاصله زیر تعریف شده است:

$$d_{IFS}^{\circ}(A, B) = \frac{1}{n} \sum_{i=1}^n \left[ \frac{|\mu_A(x_i) - \mu_B(x_i)| + |\nu_A(x_i) - \nu_B(x_i)|}{2} + \frac{\max\{|\mu_A(x_i) - \mu_B(x_i)|, |\nu_A(x_i) - \nu_B(x_i)|\}}{2} \right] \quad (98)$$

همچنین نسخه وزن دار معیار فوق نیز به صورت زیر تعریف شده است:

$$\begin{aligned} d_{IFS}^{**}(A, B) = & \sum_{i=1}^n w_i \left[ \frac{|\mu_A(x_i) - \mu_B(x_i)| + |\nu_A(x_i) - \nu_B(x_i)|}{4} \right. \\ & \left. + \frac{\max\{|\mu_A(x_i) - \mu_B(x_i)|, |\nu_A(x_i) - \nu_B(x_i)|\}}{2} \right] / \sum_{i=1}^n w_i \end{aligned} \quad (99)$$

اگر مجموعه مرجع و وزن عناصر پیوسته باشند، به صورتی که وزن  $x \in X = [a, b]$ ، به شکل  
 $d_{IFS}^{**}$  باشد، آنگاه نسخه پیوسته معیار بوده که  $\int_a^b w(x) dx = 1$  و  $w(x) \in [0, 1]$  بوده  
 شکل زیر تعریف می شود [۲۵]:

$$\begin{aligned} d_{IFS}^{**}(A, B) = & \int_a^b w(x) \left[ \frac{|\mu_A(x) - \mu_B(x)| + |\nu_A(x) - \nu_B(x)|}{4} \right. \\ & \left. + \frac{\max\{|\mu_A(x) - \mu_B(x)|, |\nu_A(x) - \nu_B(x)|\}}{2} \right] dx \end{aligned} \quad (100)$$

براساس دو معیار فاصله فوق، می توان معیارهای شباهت زیر را برای مجموعه های  $A$  و  $B$  تعریف کرد:

$$\begin{aligned} s_{IFS}^{**}(A, B) = & 1 - \sum_{i=1}^n w_i \left[ \frac{|\mu_A(x_i) - \mu_B(x_i)| + |\nu_A(x_i) - \nu_B(x_i)|}{4} \right. \\ & \left. + \frac{\max\{|\mu_A(x_i) - \mu_B(x_i)|, |\nu_A(x_i) - \nu_B(x_i)|\}}{2} \right] \end{aligned} \quad (101)$$

$$\begin{aligned} s_{IFS}^{**}(A, B) = & 1 - \int_a^b w(x) \left[ \frac{|\mu_A(x) - \mu_B(x)| + |\nu_A(x) - \nu_B(x)|}{4} \right. \\ & \left. + \frac{\max\{|\mu_A(x) - \mu_B(x)|, |\nu_A(x) - \nu_B(x)|\}}{2} \right] dx \end{aligned} \quad (102)$$

همچنین، نسخه های توسعه یافته دو معیار شباهت فوق، به ترتیب به شکل معادله های زیر تعریف

می‌شوند:

$$s_{IFS}^{11}(A, B) = 1 - \left[ \sum_{i=1}^n w_i \left[ \frac{|\mu_A(x_i) - \mu_B(x_i)|^\alpha + |\nu_A(x_i) - \nu_B(x_i)|^\alpha}{2} \right. \right. \\ \left. \left. + \frac{\max\{|\mu_A(x_i) - \mu_B(x_i)|^\alpha, |\nu_A(x_i) - \nu_B(x_i)|^\alpha\}}{2} \right] \right]^{\frac{1}{\alpha}}, \quad \alpha > 0.$$

(۱۰۳)

$$s_{IFS}^{12}(A, B) = 1 - \left[ \int_a^b w(x) \left[ \frac{|\mu_A(x) - \mu_B(x)|^\alpha + |\nu_A(x) - \nu_B(x)|^\alpha}{2} \right. \right. \\ \left. \left. + \frac{\max\{|\mu_A(x) - \mu_B(x)|^\alpha, |\nu_A(x) - \nu_B(x)|^\alpha\}}{2} \right] dx \right]^{\frac{1}{\alpha}}, \quad \alpha > 0.$$

(۱۰۴)

اگر برای هر  $w(x) = 1/(b-a)$  و  $w = (1/n, 1/n, \dots, 1/n)$ ,  $x \in [a, b]$  باشد، آنگاه

دو معیار شباهت فوق به ترتیب به شکل معادله‌های زیر تبدیل می‌شوند:

$$s_{IFS}^{13}(A, B) = 1 - \frac{1}{n^{\frac{1}{\alpha}}} \left[ \sum_{i=1}^n \left[ \frac{|\mu_A(x_i) - \mu_B(x_i)|^\alpha + |\nu_A(x_i) - \nu_B(x_i)|^\alpha}{2} \right. \right. \\ \left. \left. + \frac{\max\{|\mu_A(x_i) - \mu_B(x_i)|^\alpha, |\nu_A(x_i) - \nu_B(x_i)|^\alpha\}}{2} \right] \right]^{\frac{1}{\alpha}}, \quad \alpha > 0.$$

(۱۰۵)

$$s_{IFS}^{14}(A, B) = 1 - \frac{1}{(b-a)^{\frac{1}{\alpha}}} \left[ \int_a^b \left[ \frac{|\mu_A(x) - \mu_B(x)|^\alpha + |\nu_A(x) - \nu_B(x)|^\alpha}{2} \right. \right. \\ \left. \left. + \frac{\max\{|\mu_A(x) - \mu_B(x)|^\alpha, |\nu_A(x) - \nu_B(x)|^\alpha\}}{2} \right] dx \right]^{\frac{1}{\alpha}}, \quad \alpha > 0. \quad (106)$$

در [۱۳] نیز چندین معیار شباهت برای مجموعه‌های فازی شهودی، به شکل معادله‌های زیر تعریف شده است:

$$s_{IFS}^{15}(A, B) = \frac{1}{n} \sum_{i=1}^n \left( \sqrt{1 - \frac{|(\mu_A(x_i) - \mu_B(x_i)) - (\nu_A(x_i) - \nu_B(x_i))|}{2}} \right. \\ \times \sqrt{1 - \max(|\mu_A(x_i) - \mu_B(x_i)|, |\nu_A(x_i) - \nu_B(x_i)|)} \left. \right) \quad (107)$$

$$s_{IFS}^{16}(A, B) = \frac{1}{n} \sum_{i=1}^n \left( \sqrt{1 - \frac{|(\mu_A(x_i) - \mu_B(x_i)) - (\nu_A(x_i) - \nu_B(x_i))|}{2}} \right. \\ \times \sqrt{\frac{e^{-\max(|\mu_A(x_i) - \mu_B(x_i)|, |\nu_A(x_i) - \nu_B(x_i)|)} - e^{-1}}{1 - e^{-1}}} \left. \right) \quad (108)$$

$$s_{IFS}^{17}(A, B) = \frac{1}{n} \sum_{i=1}^n \left( \sqrt{1 - \frac{|(\mu_A(x_i) - \mu_B(x_i)) - (\nu_A(x_i) - \nu_B(x_i))|}{2}} \right. \\ \times \sqrt{\frac{1 - \max(|\mu_A(x_i) - \mu_B(x_i)|, |\nu_A(x_i) - \nu_B(x_i)|)}{1 + \max(|\mu_A(x_i) - \mu_B(x_i)|, |\nu_A(x_i) - \nu_B(x_i)|)}} \left. \right) \quad (109)$$

مثال ۱۰.۳. [۲۲] (مثالی از تشخیص الگو) پنج نوع ماده معدنی ترکیبی، با استفاده از پنج مجموعه فازی شهودی  $A_1, A_2, A_3, A_4$  و  $A_5$  در فضای ویژگی  $X = \{x_1, \dots, x_6\}$  مطابق با جدول

۱ در نظر گرفته شده‌اند. حال، با در نظر گرفتن ماده معدنی ترکیبی  $B$ ، باید تشخیص داده شود که این ماده معدنی ترکیبی به کدامیک از انواع فوق تعلق دارد. با استفاده از معیار فاصله  $d_{IFS}^{\circ}$ ، نتایج زیر به دست می‌آیند:

$$d_{IFS}^{\circ}(A_1, B) = 0.230, d_{IFS}^{\circ}(A_2, B) = 0.270, d_{IFS}^{\circ}(A_3, B) = 0.509,$$

$$d_{IFS}^{\circ}(A_4, B) = 0.165, d_{IFS}^{\circ}(A_5, B) = 0.138$$

با مشاهده نتایج به دست آمده، واضح است که ماده معدنی ترکیبی  $B$  به نوع ۵  $A_5$  تعلق دارد.

جدول ۱: نمایش مواد معدنی

	$x_1$	$x_2$	$x_3$	$x_4$	$x_5$	$x_6$
$\mu_{A_1}(x)$	0.739	0.733	0.788	0.492	0.720	0.739
$\nu_{A_1}(x)$	0.125	0.818	0.626	0.358	0.628	0.125
$\mu_{A_2}(x)$	0.124	0.730	0.748	0.136	0.719	0.393
$\nu_{A_2}(x)$	0.665	0.825	0.800	0.648	0.823	0.653
$\mu_{A_3}(x)$	0.449	0.662	1.000	1.000	1.000	1.000
$\nu_{A_3}(x)$	0.387	0.298	0.500	0.000	0.000	0.000
$\mu_{A_4}(x)$	0.280	0.521	0.470	0.295	0.188	0.735
$\nu_{A_4}(x)$	0.715	0.368	0.423	0.658	0.806	0.118
$\mu_{A_5}(x)$	0.326	1.000	0.182	0.156	0.749	0.675
$\nu_{A_5}(x)$	0.452	0.000	0.725	0.765	0.896	0.263
$\mu_B(x)$	0.629	0.524	0.210	0.218	0.769	0.658
$\nu_B(x)$	0.303	0.356	0.689	0.753	0.876	0.256

### ۵.۳ معیارهای فاصله و شباهت برای مجموعه‌های فازی مردد

(در این مقاله، به منظور سهولت در نامگذاری، فاصله و شباهت برای مجموعه‌های فازی بازه مقدار به ترتیب با نمادهای  $d_{HFS}$  و  $s_{HFS}$  نمایش داده شده‌اند) در [۲۶] معیارهای فاصله و شباهت متنوعی برای مجموعه‌های فازی مردد معرفی شده است که در این بخش به بررسی برخی از این معیارهای پرداخته شده است.

پیش از بررسی معیارهای مذکور باید توجه داشت که ممکن است تعداد مقادیر در عناصر فازی مردد مختلف، متفاوت باشد، از این‌رو فرض می‌شود که  $(h_E(x))_l$  تعداد مقادیر در عنصر فازی

مردد  $h_E(x)$  باشد. همچنین، عناصر موجود در  $h_E(x)$  به صورت نزولی مرتب شده و  $h_E^{\sigma(j)}(x)$   $j$ -امین بزرگترین مقدار در  $h_E(x)$  را نشان می‌دهد. علاوه بر این، با فرض اینکه  $M$  و  $N$  دو مجموعه فازی مردد باشند، در بسیاری از موارد،  $l(h_M(x_i)) \neq l(h_N(x_i))$  می‌باشد، از اینرو برای سادگی، فرض می‌شود که برای هر  $x$  در  $X$ ،  $l_{x_i} = \max\{l(h_M(x_i)), l(h_N(x_i))\}$  باشد. به منظور انجام یک مقایسه صحیح، باید عناصر فازی مردد، تعداد مقادیر برابر داشته باشند. برای این منظور، عنصر مرددی که تعداد مقادیر کمتری دارد، گسترش پیدا می‌کند. بهترین روش برای گسترش عنصر مورد نظر، اضافه کردن مقادیری یکسان به عنصر مذکور است. انتخاب این مقدار، بستگی به ریسک تصمیم‌گیرندگان دارد. ممکن است تصمیم‌گیرندگان خوشبین، بزرگترین مقدار و تصمیم‌گیرندگان بدبین، کوچکترین مقدار را انتخاب کنند. به عنوان مثال، با فرض اینکه  $h_M(x_i) = \{0/4, 0/5\}$  و  $h_N(x_i) = \{0/1, 0/2, 0/3\}$  دو عنصر فازی مردد باشند، واضح است که باید  $h_N(x_i)$  گسترش پیدا کند. ممکن است این گسترش، به صورت  $h_N(x_i) = \{0/4, 0/4, 0/5\}$  یا  $\{0/4, 0/4, 0/5, 0/5\}$  باشد. در [۲۶] فرض شده است که تصمیم‌گیرندگان بدبین هستند.

در ادامه، به بررسی برخی از معیارهای فاصله و شباهت برای این مجموعه‌ها پرداخته شده است:

براساس معیارهای فاصله همینگ و اقلیدسی شناخته شده، معیارهای فاصله همینگ و اقلیدسی نرمال شده مردد به صورت معادله‌های (۱۱۰) و (۱۱۱) تعریف می‌شوند:

$$d_{HFS}^1(M, N) = \frac{1}{n} \sum_{i=1}^n \left[ \frac{1}{l_{x_i}} \sum_{j=1}^{l_{x_i}} |h_M^{\sigma(j)}(x_i) - h_N^{\sigma(j)}(x_i)| \right] \quad (110)$$

$$d_{HFS}^2(M, N) = \left[ \frac{1}{n} \sum_{i=1}^n \left( \frac{1}{l_{x_i}} \sum_{j=1}^{l_{x_i}} |h_M^{\sigma(j)}(x_i) - h_N^{\sigma(j)}(x_i)|^2 \right) \right]^{\frac{1}{2}} \quad (111)$$

همچنین، می‌توان معیارهای معرفی در معادله‌های (۱۱۰) و (۱۱۱) را به یک معیار فاصله نرمال

شده مردد توسعه یافته، همچون معیار زیر توسعه داد:

(۱۱۲)

$$d_{HFS}^{\mathfrak{r}}(M, N) = \left[ \frac{1}{n} \sum_{i=1}^n \left( \frac{1}{l_{x_i}} \sum_{j=1}^{l_{x_i}} |h_M^{\sigma(j)}(x_i) - h_N^{\sigma(j)}(x_i)|^\lambda \right) \right]^{\frac{1}{\lambda}}, \quad \lambda > 0.$$

در حالت خاص، اگر  $\lambda = 1$  باشد، معیار فوق به معیار فاصله همینگ نرمال شده مردد و در صورتی که  $\lambda = 2$  باشد، به معیار فاصله اقلیدسی نرمال شده مردد تقلیل می‌یابد.  
از طرف دیگر، با در نظر گرفتن متر هاسدورف به عنوان معیار فاصله، فاصله هاسدورف نرمال شده مردد توسعه یافته به صورت زیر تعریف می‌شود:

$$d_{HFS}^{\mathfrak{e}}(M, N) = \left[ \frac{1}{n} \sum_{i=1}^n \max_j |h_M^{\sigma(j)}(x_i) - h_N^{\sigma(j)}(x_i)|^\lambda \right]^{\frac{1}{\lambda}}, \quad \lambda > 0. \quad (113)$$

دو حالت خاص از فاصله هاسدورف نرمال شده توسعه یافته به صورت زیر بیان می‌شوند:

-۱ - اگر  $\lambda = 1$  باشد، آنگاه معادله ۱۱۳ به فاصله همینگ-هاسدورف نرمال شده مردد، به صورت معادله زیر تبدیل می‌گردد:

$$d_{HFS}^{\mathfrak{d}}(M, N) = \frac{1}{n} \sum_{i=1}^n \max_j |h_M^{\sigma(j)}(x_i) - h_N^{\sigma(j)}(x_i)| \quad (114)$$

-۲ - اگر  $\lambda = 2$  باشد، آنگاه معادله ۱۱۳ به فاصله اقلیدسی-هاسدورف نرمال شده مردد، به صورت معادله زیر تبدیل می‌گردد:

$$d_{HFS}^{\mathfrak{e}}(M, N) = \left[ \frac{1}{n} \sum_{i=1}^n \max_j |h_M^{\sigma(j)}(x_i) - h_N^{\sigma(j)}(x_i)|^2 \right]^{\frac{1}{2}} \quad (115)$$

با ترکیب معیارهای فوق، فاصله‌های همینگ نرمال شده مردد ترکیبی، اقلیدسی نرمال شده مردد ترکیبی و فاصله نرمال شده مردد ترکیبی توسعه یافته، به ترتیب به صورت معادلات زیر تعریف

شده‌اند:

$$d_{HFS}^{\gamma}(M, N) = \frac{1}{n} \sum_{i=1}^n \left( \frac{1}{l_{x_i}} \sum_{j=1}^{l_{x_i}} |h_M^{\sigma(j)}(x_i) - h_N^{\sigma(j)}(x_i)| + \max_j |h_M^{\sigma(j)}(x_i) - h_N^{\sigma(j)}(x_i)| \right) \quad (116)$$

$$d_{HFS}^{\lambda}(M, N) = \left[ \frac{1}{n} \sum_{i=1}^n \left( \frac{1}{l_{x_i}} \sum_{j=1}^{l_{x_i}} |h_M^{\sigma(j)}(x_i) - h_N^{\sigma(j)}(x_i)|^\lambda + \max_j |h_M^{\sigma(j)}(x_i) - h_N^{\sigma(j)}(x_i)|^\lambda \right) \right]^{\frac{1}{\lambda}} \quad (117)$$

$$d_{HFS}^{\alpha}(M, N) = \left[ \frac{1}{n} \sum_{i=1}^n \left( \frac{1}{l_{x_i}} \sum_{j=1}^{l_{x_i}} |h_M^{\sigma(j)}(x_i) - h_N^{\sigma(j)}(x_i)|^\lambda + \max_j |h_M^{\sigma(j)}(x_i) - h_N^{\sigma(j)}(x_i)|^\lambda \right) \right]^{\frac{1}{\lambda}}, \quad \lambda > 0 \quad (118)$$

با فرض اینکه  $w_i \in [0, 1]$  و  $x_i \in X$  وزن  $w_i$  به ازای  $i = 1, 2, \dots, n$  و با شرایط  $\sum_{i=1}^n w_i = 1$  باشد، فاصله‌های وزن‌دار مردد توسعه‌یافته و هاسدورف وزن‌دار مردد توسعه‌یافته به ترتیب به شکل معادله‌های (119) و (120) تعریف می‌شوند.

$$d_{HFS}^{\circ}(M, N) = \left[ \sum_{i=1}^n w_i \left( \frac{1}{l_{x_i}} \sum_{j=1}^{l_{x_i}} |h_M^{\sigma(j)}(x_i) - h_N^{\sigma(j)}(x_i)|^\lambda \right) \right]^{\frac{1}{\lambda}}, \quad \lambda > 0 \quad (119)$$

$$d_{HFS}^{\wedge}(M, N) = \left[ \sum_{i=1}^n w_i \max_j |h_M^{\sigma(j)}(x_i) - h_N^{\sigma(j)}(x_i)|^\lambda \right]^{\frac{1}{\lambda}} \quad \lambda > 0 \quad (120)$$

در حالت خاص با قرار دادن  $\lambda = 1$ ، فاصله‌های همینگ وزن‌دار مردد و همینگ-هاسدورف وزن‌دار مردد به ترتیب به شکل معادله‌های (۱۲۱) و (۱۲۲) و با قرار دادن  $\lambda = 2$ ، فاصله‌های اقلیدسی وزن‌دار مردد و اقلیدسی-هاسدورف وزن‌دار مردد به ترتیب به شکل معادله‌های (۱۲۳) و (۱۲۴) نمایش داده می‌شوند.

$$d_{HFS}^{1\lambda}(M, N) = \sum_{i=1}^n w_i \left[ \frac{1}{l_{x_i}} \sum_{j=1}^{l_{x_i}} |h_M^{\sigma(j)}(x_i) - h_N^{\sigma(j)}(x_i)| \right] \quad (121)$$

$$d_{HFS}^{1\lambda}(M, N) = \sum_{i=1}^n w_i \max_j |h_M^{\sigma(j)}(x_i) - h_N^{\sigma(j)}(x_i)| \quad (122)$$

$$d_{HFS}^{1\lambda}(M, N) = \left[ \sum_{i=1}^n w_i \left( \frac{1}{l_{x_i}} \sum_{j=1}^{l_{x_i}} |h_M^{\sigma(j)}(x_i) - h_N^{\sigma(j)}(x_i)|^\lambda \right) \right]^{\frac{1}{\lambda}} \quad (123)$$

$$d_{HFS}^{1\lambda}(M, N) = \left[ \sum_{i=1}^n w_i \max_j |h_M^{\sigma(j)}(x_i) - h_N^{\sigma(j)}(x_i)|^\lambda \right]^{\frac{1}{\lambda}} \quad (124)$$

علاوه بر این، با ترکیب فاصله‌های وزن‌دار مردد توسعه یافته و هاسدورف وزن‌دار مردد توسعه یافته، فاصله وزن‌دار مردد ترکیبی توسعه یافته به صورت معادله زیر معرفی شده است:

$$d_{HFS}^{1\lambda}(M, N) = \left[ \sum_{i=1}^n w_i \left( \frac{1}{l_{x_i}} \sum_{j=1}^{l_{x_i}} |h_M^{\sigma(j)}(x_i) - h_N^{\sigma(j)}(x_i)|^\lambda + \max_j |h_M^{\sigma(j)}(x_i) - h_N^{\sigma(j)}(x_i)|^\lambda \right) \right]^{\frac{1}{\lambda}}, \quad \lambda > 0 \quad (125)$$

در حالت خاص، با قرار دادن  $\lambda = 1$  معیار فاصله فوق، به فاصله همینگ وزن‌دار

مردد ترکیبی و فاصله اقلیدسی وزن دار مردد ترکیبی به ترتیب به شکل معادله های ۱۲۶ و ۱۲۷ تبدیل می شود:

$$d_{HFS}^{\text{v}}(M, N) = \sum_{i=1}^n w_i \left( \frac{1}{l_{x_i}} \sum_{j=1}^{l_{x_i}} |h_M^{\sigma(j)}(x_i) - h_N^{\sigma(j)}(x_i)| + \max_j |h_M^{\sigma(j)}(x_i) - h_N^{\sigma(j)}(x_i)| \right) \quad (126)$$

$$d_{HFS}^{\text{v}}(M, N) = \left[ \sum_{i=1}^n w_i \left( \frac{1}{l_{x_i}} \sum_{j=1}^{l_{x_i}} |h_M^{\sigma(j)}(x_i) - h_N^{\sigma(j)}(x_i)|^2 + \max_j |h_M^{\sigma(j)}(x_i) - h_N^{\sigma(j)}(x_i)|^2 \right) \right]^{\frac{1}{2}} \quad (127)$$

تمامی معیارهای فاصله ای که تاکنون برای مجموعه های فازی مردد مورد بررسی قرار گرفت، معیارهایی گسترش می باشند. در صورتی که مجموعه مرجع و وزن های عناصر پیوسته باشند، به طوری که  $w(x)$  وزن عنصر  $x \in X = [a, b]$  با شرایط  $\int_a^b w(x) dx = 1$  و  $w(x) \in [0, 1]$  باشد، فاصله های همینگ وزن دار مردد پیوسته، اقلیدسی وزن دار مردد پیوسته و فاصله وزن دار مردد پیوسته توسعه یافته به ترتیب به صورت معادله های زیر معرفی شده اند:

$$d_{HFS}^{\text{v}}(M, N) = \int_a^b w(x) \left( \frac{1}{l_x} \sum_{j=1}^{l_x} |h_M^{\sigma(j)}(x) - h_N^{\sigma(j)}(x)| \right) dx \quad (128)$$

$$d_{HFS}^{\text{v}}(M, N) = \left[ \int_a^b w(x) \left( \frac{1}{l_x} \sum_{j=1}^{l_x} |h_M^{\sigma(j)}(x) - h_N^{\sigma(j)}(x)|^2 \right) dx \right]^{\frac{1}{2}} \quad (129)$$

$$d_{HFS}^{(1)}(M, N) = \left[ \int_a^b w(x) \left( \frac{1}{l_x} \sum_{j=1}^{l_x} |h_M^{\sigma(j)}(x) - h_N^{\sigma(j)}(x)|^\lambda \right) dx \right]^{\frac{1}{\lambda}}, \quad \lambda > 0. \quad (130)$$

در صورتی که برای هر  $w(x) = 1/(b-a)$ ,  $x \in [a, b]$  باشد، فاصله‌های همینگ وزن دار مردد پیوسته، اقلیدسی وزن دار مردد پیوسته و فاصله وزن دار مردد پیوسته توسعه یافته به ترتیب به فاصله‌های همینگ نرمال مردد پیوسته، اقلیدسی نرمال مردد پیوسته و فاصله نرمال مردد پیوسته توسعه یافته به شکل معادله‌های زیر تقلیل می‌یابند:

$$d_{HFS}^{(2)}(M, N) = \frac{1}{b-a} \int_a^b \left( \frac{1}{l_x} \sum_{j=1}^{l_x} |h_M^{\sigma(j)}(x) - h_N^{\sigma(j)}(x)| \right) dx \quad (131)$$

$$d_{HFS}^{(3)}(M, N) = \left[ \frac{1}{b-a} \int_a^b \left( \frac{1}{l_x} \sum_{j=1}^{l_x} |h_M^{\sigma(j)}(x) - h_N^{\sigma(j)}(x)|^\lambda \right) dx \right]^{\frac{1}{\lambda}} \quad (132)$$

$$d_{HFS}^{(4)}(M, N) = \left[ \frac{1}{b-a} \int_a^b \left( \frac{1}{l_x} \sum_{j=1}^{l_x} |h_M^{\sigma(j)}(x) - h_N^{\sigma(j)}(x)|^\lambda \right) dx \right]^{\frac{1}{\lambda}}, \quad \lambda > 0. \quad (133)$$

با استفاده از متر هاسدورف، فاصله هاسدورف وزن دار مردد پیوسته توسعه یافته به صورت زیر تعریف شده است:

$$d_{HFS}^{(5)}(M, N) = \left[ \int_a^b w(x) \max_j |h_M^{\sigma(j)}(x) - h_N^{\sigma(j)}(x)|^\lambda dx \right]^{\frac{1}{\lambda}}, \quad \lambda > 0. \quad (134)$$

در حالت خاص، با قرار دادن  $\lambda = 1$  و  $\lambda = 2$  فاصله فوق به ترتیب به فاصله همینگ-هاسدورف وزن دار مردد پیوسته و فاصله اقلیدسی-هاسدورف وزن دار مردد پیوسته به صورت تقلیل می‌یابد:

$$d_{HFS}^{(6)}(M, N) = \int_a^b w(x) \max_j |h_M^{\sigma(j)}(x) - h_N^{\sigma(j)}(x)| dx \quad (135)$$

$$d_{HFS}^{\text{VY}}(M, N) = \left[ \int_a^b w(x) \max_j |h_M^{\sigma(j)}(x) - h_N^{\sigma(j)}(x)|^r dx \right]^{\frac{1}{r}} \quad (136)$$

مجددا، در صورتی که برای هر  $w(x) = 1/(b-a)$ ,  $x \in [a, b]$  باشد، فاصله‌های وزن‌دار مردد پیوسته توسعه یافته، همینگ-هاسدورف وزن‌دار مردد پیوسته و اقلیدسی-هاسدورف وزن‌دار مردد پیوسته، به ترتیب به فاصله‌های نرمال شده مردد پیوسته توسعه یافته، همینگ-هاسدورف نرمال شده مردد پیوسته و اقلیدسی-هاسدورف نرمال شده مردد پیوسته به شکل معادله‌های زیر تبدیل می‌شوند:

$$d_{HFS}^{\text{VY}}(M, N) = \left[ \frac{1}{b-a} \int_a^b \max_j |h_M^{\sigma(j)}(x) - h_N^{\sigma(j)}(x)|^\lambda dx \right]^{\frac{1}{\lambda}}, \quad \lambda > 0 \quad (137)$$

$$d_{HFS}^{\text{VY}}(M, N) = \frac{1}{b-a} \int_a^b \max_j |h_M^{\sigma(j)}(x) - h_N^{\sigma(j)}(x)| dx \quad (138)$$

$$d_{HFS}^{\text{VY}}(M, N) = \left[ \frac{1}{b-a} \int_a^b \max_j |h_M^{\sigma(j)}(x) - h_N^{\sigma(j)}(x)|^r dx \right]^{\frac{1}{r}} \quad (139)$$

مشابه با فاصله وزن‌دار مردد ترکیبی توسعه یافته، فاصله وزن‌دار مردد پیوسته ترکیبی توسعه یافته به صورت زیر تعریف شده است:

$$\begin{aligned} d_{HFS}^{\text{VY}}(M, N) = & \left[ \int_a^b w(x) \left( \frac{1}{l_i} \sum_{j=1}^{l_i} |h_M^{\sigma(j)}(x) - h_N^{\sigma(j)}(x)|^\lambda \right. \right. \\ & \left. \left. + \frac{1}{2} \max_j |h_M^{\sigma(j)}(x) - h_N^{\sigma(j)}(x)|^\lambda \right) \right]^{\frac{1}{\lambda}}, \quad \lambda > 0 \end{aligned} \quad (140)$$

مجددا، با در نظر گرفتن  $w(x) = 1/(b-a)$ ,  $x \in [a, b]$  برای هر فاصله وزن‌دار مردد پیوسته ترکیبی توسعه یافته به فاصله نرمال شده مردد پیوسته ترکیبی توسعه یافته به صورت زیر تبدیل

می‌شود:

$$\begin{aligned} d_{HFS}^{\text{III}}(M, N) = & \left[ \frac{1}{b-a} \int_a^b \left( \frac{1}{\gamma l_x} \sum_{j=1}^{l_x} |h_M^{\sigma(j)}(x) - h_N^{\sigma(j)}(x)|^\lambda \right. \right. \\ & \left. \left. + \frac{1}{\gamma} \max_j |h_M^{\sigma(j)}(x) - h_N^{\sigma(j)}(x)|^\lambda \right) \right]^{\frac{1}{\lambda}}, \quad \lambda > 0 \end{aligned} \quad (141)$$

با قرار دادن  $\lambda = 1$  و  $\lambda = 2$  در معادله (۱۴۰)، به ترتیب فاصله‌های همینگ وزن دار مردد پیوسته ترکیبی و اقلیدسی وزن دار مردد پیوسته ترکیبی به شکل معادله‌های زیر نمایش داده شده و با در نظر گرفتن  $w(x) = 1/(b-a)$  برای هر  $x \in [a, b]$ ، فاصله‌های همینگ نرمال شده مردد پیوسته ترکیبی و اقلیدسی نرمال شده مردد پیوسته ترکیبی به شکل معادله‌های (۱۴۴) و (۱۴۵) تبدیل می‌شوند:

$$\begin{aligned} d_{HFS}^{\text{III}}(M, N) = & \int_a^b w(x) \left( \frac{1}{\gamma l_x} \sum_{j=1}^{l_x} |h_M^{\sigma(j)}(x) - h_N^{\sigma(j)}(x)| \right. \\ & \left. + \frac{1}{\gamma} \max_j |h_M^{\sigma(j)}(x) - h_N^{\sigma(j)}(x)| \right) \end{aligned} \quad (142)$$

$$\begin{aligned} d_{HFS}^{\text{IV}}(M, N) = & \left[ \int_a^b w(x) \left( \frac{1}{\gamma l_x} \sum_{j=1}^{l_x} |h_M^{\sigma(j)}(x) - h_N^{\sigma(j)}(x)|^\gamma \right. \right. \\ & \left. \left. + \frac{1}{\gamma} \max_j |h_M^{\sigma(j)}(x) - h_N^{\sigma(j)}(x)|^\gamma \right) \right]^{\frac{1}{\gamma}} \end{aligned} \quad (143)$$

$$\begin{aligned} d_{HFS}^{\text{V}}(M, N) = & \frac{1}{b-a} \int_a^b \left( \frac{1}{\gamma l_x} \sum_{j=1}^{l_x} |h_M^{\sigma(j)}(x) - h_N^{\sigma(j)}(x)| \right. \\ & \left. + \frac{1}{\gamma} \max_j |h_M^{\sigma(j)}(x) - h_N^{\sigma(j)}(x)| \right) \end{aligned} \quad (144)$$

$$d_{HFS}^{\infty}(M, N) = \left[ \frac{1}{b-a} \int_a^b \left( \frac{1}{l_x} \sum_{j=1}^{l_x} |h_M^{\sigma(j)}(x) - h_N^{\sigma(j)}(x)|^2 + \frac{1}{2} \max_j |h_M^{\sigma(j)}(x) - h_N^{\sigma(j)}(x)|^2 \right)^{\frac{1}{2}} \right] \quad (145)$$

**مثال ۱۱.۳.** [۲۶] انرژی یک عامل ضروری برای توسعه اقتصادی-اجتماعی جوامع است، بنابراین سیاست انرژی درست، بر رشد اقتصادی و محیطی جامعه تاثیرگذار بوده و در نتیجه انتخاب یک سیاست مناسب، امری مهم است. فرض کنید پنج گزینه (پروژه انرژی)  $A_i$ , ( $i = 1, 2, 3, 4, 5$ )؛ میانی-سیاسی وجود دارد، هر گزینه شامل چهار ویژگی  $P_1$ : تکنولوژیکی،  $P_2$ : محیطی،  $P_3$ : اجتماعی-سیاسی و  $P_4$ : اقتصادی می‌باشد. بردار وزن به صورت  $(0.15, 0.3, 0.2, 0.35)^T = w$  در نظر گرفته شده است. از چند کارشناس خواسته شده تا نظر خود را در مورد عملکرد این گزینه‌ها بیان کنند. ارزیابی‌های مختلف یک گزینه نسبت به ویژگی‌ها را می‌توان به صورت یک مجموعه فازی مردد در نظر گرفت. نتیجه ارزیابی کارشناسان به صورت یک ماتریس تصمیم فازی مردد در جدول ۲ نشان داده شده است.

جدول ۲: ماتریس تصمیم فازی مردد

	$P_1$	$P_2$	$P_3$	$P_4$
$A_1$	{0.5, 0.4, 0.3}	{0.9, 0.8, 0.7, 0.1}	{0.5, 0.4, 0.2}	{0.9, 0.6, 0.5, 0.3}
$A_2$	{0.5, 0.3}	{0.9, 0.7, 0.6, 0.5, 0.2}	{0.8, 0.6, 0.5, 0.1}	{0.7, 0.3, 0.4}
$A_3$	{0.7, 0.6}	{0.9, 0.6}	{0.7, 0.5, 0.3}	{0.6, 0.4}
$A_4$	{0.8, 0.7, 0.4, 0.3}	{0.7, 0.4, 0.2}	{0.8, 0.1}	{0.9, 0.8, 0.6}
$A_5$	{0.9, 0.7, 0.6, 0.3, 0.1}	{0.8, 0.7, 0.6, 0.4}	{0.9, 0.8, 0.7}	{0.9, 0.7, 0.6, 0.3}

با فرض اینکه گزینه ایده‌آل به صورت  $\{1\} = A^*$  تعریف شود، به منظور یافتن گزینه مناسب، باید فاصله بین هر گزینه تا گزینه ایده‌آل محاسبه گردد. در صورت استفاده از معیارهای فاصله وزن دار مردد توسعه یافته، هاسدورف وزن دار مردد توسعه یافته و وزن دار مردد ترکیبی توسعه یافته، رتبه‌بندی گزینه‌ها به ترتیب در جدول‌های ۳ تا ۵ ارائه شده است.

جدول ۳: نتایج به دست آمده با استفاده از معیار فاصله وزن‌دار مردد توسعه یافته

	$A_1$	$A_2$	$A_3$	$A_4$	$A_5$	رتبه‌بندی
$\lambda = 1$	۰/۴۷۹۹	۰/۵۰۲۷	۰/۴۰۲۵	۰/۴۲۹۲	۰/۳۵۵۸	$A_5 > A_3 > A_4 > A_1 > A_2$
$\lambda = 2$	۰/۵۳۷۸	۰/۵۴۵۱	۰/۴۳۶۶	۰/۵۰۵۲	۰/۴۱۲۹	$A_5 > A_3 > A_4 > A_1 > A_2$
$\lambda = 6$	۰/۶۵۹۹	۰/۶۴۷۶	۰/۵۱۵۶	۰/۶۷۰۴	۰/۵۶۹۹	$A_3 > A_5 > A_2 > A_1 > A_4$
$\lambda = 10$	۰/۷۲۱۳	۰/۷۰۴۶	۰/۵۶۰۷	۰/۷۳۷۳	۰/۶۵۳۷	$A_3 > A_5 > A_2 > A_1 > A_4$

جدول ۴: نتایج به دست آمده با استفاده از معیار فاصله هاسدورف وزن‌دار مردد توسعه یافته

	$A_1$	$A_2$	$A_3$	$A_4$	$A_5$	رتبه‌بندی
$\lambda = 1$	۰/۷۸۰۰	۰/۷۷۰۰	۰/۵۳۰۰	۰/۶۶۵۰	۰/۶۲۰۰	$A_3 > A_5 > A_4 > A_2 > A_1$
$\lambda = 2$	۰/۷۸۴۹	۰/۷۷۴۰	۰/۵۴۴۱	۰/۶۹۵۳	۰/۶۴۷۳	$A_3 > A_5 > A_4 > A_2 > A_1$
$\lambda = 6$	۰/۸۰۴۳	۰/۷۹۰۴	۰/۵۸۸۹	۰/۷۶۷۳	۰/۷۱۶۳	$A_3 > A_5 > A_4 > A_2 > A_1$
$\lambda = 10$	۰/۸۲۱۶	۰/۸۰۶۳	۰/۶۱۵۶	۰/۷۹۹۱	۰/۷۵۹۷	$A_3 > A_5 > A_4 > A_2 > A_1$

جدول ۵: نتایج به دست آمده با استفاده از معیار فاصله وزن‌دار مردد ترکیبی توسعه یافته

	$A_1$	$A_2$	$A_3$	$A_4$	$A_5$	رتبه‌بندی
$\lambda = 1$	۰/۶۳۰۰	۰/۶۳۶۳	۰/۴۶۶۲	۰/۵۴۷۱	۰/۴۸۷۹	$A_3 > A_5 > A_4 > A_1 > A_2$
$\lambda = 2$	۰/۶۶۱۳	۰/۶۵۹۵	۰/۴۹۰۳	۰/۶۰۰۲	۰/۵۳۰۱	$A_3 > A_5 > A_4 > A_2 > A_1$
$\lambda = 6$	۰/۷۳۲۱	۰/۷۱۹۰	۰/۵۵۲۳	۰/۷۱۸۸	۰/۶۴۳۱	$A_3 > A_5 > A_4 > A_2 > A_1$
$\lambda = 10$	۰/۷۶۲۸	۰/۷۴۷۵	۰/۵۷۴۸	۰/۷۵۲۳	۰/۶۸۵۰	$A_3 > A_5 > A_2 > A_4 > A_1$

### ۱.۵.۳ معیارهای فاصله شامل درج تردید برای مجموعه‌های فازی مردد

در [۳۱] به این نکته اشاره شده است که ممکن است معیارهای فاصله معرفی شده در [۲۶] در برخی از موارد عملکرد مناسبی نداشته باشند. به عنوان مثال، اگر  $M = \{< x_i, \{0.3, 0.5\} > | x_i \in M\}$  باشد،  $Q = \{< x_i, \{0.2, 0.8\} > | x_i \in X\}$  و  $N = \{< x_i, \{0.2, 0.3\} > | x_i \in X\}$  سه مجموعه فازی مردد بر  $X$  باشند، با استفاده از معیارهای فاصله معرفی شده در [۲۶]، نتیجه می‌شود که فاصله بین  $M$  و  $N$  با فاصله بین  $M$  و  $Q$  یکسان می‌باشد. بنابراین، در چنین مواردی نمی‌توان با استفاده از فاصله‌های مذکور مقایسه مناسبی بین مجموعه‌های فازی مردد انجام داد. به منظور غلبه بر این مشکل، در [۳۱] یک اندیس تردید جدید برای مجموعه‌های فازی مردد در نظر

گرفته شده و بر اساس آن معیارهای فاصله و شباهت جدیدی برای این مجموعه ها معرفی شده است. در [۳۱]، به منظور اندازه‌گیری انحراف هر عنصر فازی مردد در هر مجموعه فازی مردد، یک اندیس تردید به صورت تعریف زیر ارائه شده است.

**تعریف ۱۲.۳.** [۳۱] با فرض اینکه  $H$  یک مجموعه فازی مردد بر مجموعه مرجع  $X$  باشد، اندیس تردید  $x$  در  $H$  به صورت زیر تعریف می‌شود:

$$\hbar_H(x) = \begin{cases} \sqrt{\frac{1}{l_x} \sum_{k>j=1}^{l_x} (h_H^{\sigma(k)}(x) - h_H^{\sigma(j)}(x))^2}, & l_x > 1 \\ 0, & l_x = 1 \end{cases} \quad (۱۴۶)$$

که  $l_x$  تعداد مقادیر در  $h_H(x)$  بوده و  $\binom{l_x}{2} = \frac{1}{2}l_x(l_x-1)$  می‌باشد.

بنابراین، اندیس تردید مجموعه فازی مردد  $H$  به صورت زیر تعریف شده است:

$$\hbar(H) = \frac{1}{n} \sum_{i=1}^n \hbar_H(x_i) \quad (۱۴۷)$$

سپس، با در نظر گرفتن اندیس تردید فوق، معیارهای فاصله جدیدی برای مجموعه‌های فازی مردد ارائه شده‌اند. به عنوان مثال، فرمول توسعه یافته جدید از فاصله نرمال فازی مردد بین مجموعه‌های فازی مردد  $M$  و  $N$  به صورت زیر ارائه شده است:

$$d_{HFS}^{\gamma\gamma}(M, N) = \left( \frac{1}{n} \sum_{i=1}^n \left( \frac{\phi_1}{l_{x_i}} \sum_{j=1}^{l_{x_i}} |h_M^{\sigma(j)}(x_i) - h_N^{\sigma(j)}(x_i)|^\lambda + \phi_2 |\hbar_M(x_i) - \hbar_N(x_i)|^\lambda \right) \right)^{\frac{1}{\lambda}} \quad (۱۴۸)$$

که  $\phi_1 \geq \phi_2$  و  $\phi_1 + \phi_2 = 1$ ،  $\phi_1, \phi_2 \in [0, 1]$ ،  $\lambda > 0$

معیار فوق با مقادیر متفاوت  $\lambda$ ،  $\phi_1$  و  $\phi_2$  به نسخه‌های مختلفی تقلیل خواهد یافت که در ادامه به برخی از آنها خواهیم پرداخت. برای آسانی، فرض می‌کنیم  $\phi_2 = \frac{1}{2}$  و  $\phi_1 = 1 - \phi_2$  باشد. در اینصورت،

معیار فوق به فاصله نرمال فازی مردد توسعه یافته بهبود یافته به صورت زیر تبدیل می‌شود:

$$d_{HFS}^{\lambda}(M, N) = \left( \frac{1}{2n} \sum_{i=1}^n \left( \frac{1}{l_{x_i}} \sum_{j=1}^{l_{x_i}} |h_M^{\sigma(j)}(x_i) - h_N^{\sigma(j)}(x_i)|^\lambda + |\bar{h}_M(x_i) - \bar{h}_N(x_i)|^\lambda \right) \right)^{\frac{1}{\lambda}} \quad (149)$$

علاوه بر این، با قرار دادن  $1 = \lambda = 2$  معیار فوق به ترتیب به فاصله همینگ نرمال فازی مردد بهبود یافته و فاصله اقلیدسی نرمال فازی مردد بهبود یافته به ترتیب به صورت معادله‌های زیر تبدیل می‌شود:

$$d_{HFS}^{\lambda}(M, N) = \left( \frac{1}{2n} \sum_{i=1}^n \left( \frac{1}{l_{x_i}} \sum_{j=1}^{l_{x_i}} |h_M^{\sigma(j)}(x_i) - h_N^{\sigma(j)}(x_i)| + |\bar{h}_M(x_i) - \bar{h}_N(x_i)| \right) \right)^{\frac{1}{\lambda}} \quad (150)$$

$$d_{HFS}^{\circ}(M, N) = \left( \frac{1}{2n} \sum_{i=1}^n \left( \frac{1}{l_{x_i}} \sum_{j=1}^{l_{x_i}} (h_M^{\sigma(j)}(x_i) - h_N^{\sigma(j)}(x_i))^2 + (\bar{h}_M(x_i) - \bar{h}_N(x_i))^2 \right) \right)^{\frac{1}{2}} \quad (151)$$

با فرض اینکه  $w_i$  وزن  $x_i \in X$  به ازای  $i = 1, 2, \dots, n$  و با شرایط  $w_i \in [0, 1]$  باشد، معیار فاصله وزن‌دار فازی مردد توسعه یافته به صورت زیر تعریف شده

است:

$$d_{HFS}^{*}(M, N) = \left( \sum_{i=1}^n w_i \left( \frac{\phi_1}{l_{x_i}} \sum_{j=1}^{l_{x_i}} |h_M^{\sigma(j)}(x_i) - h_N^{\sigma(j)}(x_i)|^\lambda + \phi_2 |\tilde{h}_M(x_i) - \tilde{h}_N(x_i)|^\lambda \right) \right)^{\frac{1}{\lambda}} \quad (152)$$

مجدداً با فرض  $\phi_1 = \phi_2 = \phi$ , معیار فوق به معیار فاصله وزن‌دار فازی مردد توسعه یافته به صورت زیر تبدیل خواهد شد:

$$d_{HFS}^{**}(M, N) = \left( \frac{1}{2} \sum_{i=1}^n w_i \left( \frac{1}{l_{x_i}} \sum_{j=1}^{l_{x_i}} |h_M^{\sigma(j)}(x_i) - h_N^{\sigma(j)}(x_i)|^\lambda + |\tilde{h}_M(x_i) - \tilde{h}_N(x_i)|^\lambda \right) \right)^{\frac{1}{\lambda}} \quad (153)$$

علاوه بر این، با قرار دادن  $\lambda = 1$  و  $\lambda = 2$  معیار فوق به ترتیب به فاصله همینگ وزن‌دار فازی مردد بهبود یافته و فاصله اقلیدسی وزن‌دار فازی مردد بهبود یافته به صورت زیر تبدیل می‌شود:

$$d_{HFS}^{***}(M, N) = \frac{1}{\sqrt{n}} \sum_{i=1}^n w_i \left( \frac{1}{l_{x_i}} \sum_{j=1}^{l_{x_i}} |h_M^{\sigma(j)}(x_i) - h_N^{\sigma(j)}(x_i)| + |\tilde{h}_M(x_i) - \tilde{h}_N(x_i)| \right) \quad (154)$$

$$d_{HFS}^{****}(M, N) = \left( \frac{1}{\sqrt{n}} \sum_{i=1}^n w_i \left( \frac{1}{l_{x_i}} \sum_{j=1}^{l_{x_i}} (h_M^{\sigma(j)}(x_i) - h_N^{\sigma(j)}(x_i))^2 + (\tilde{h}_M(x_i) - \tilde{h}_N(x_i))^2 \right) \right)^{\frac{1}{2}} \quad (155)$$

با فرض اینکه  $w(x) \in [0, 1]$  بوده و  $w(x)$  وزن عنصر  $x \in X$  با شرایط  $X = [a, b]$  و

باشد، فاصله وزن دار فازی مردد پیوسته به صورت زیر تعریف شده است:

$$d_{HFS}^{45}(M, N) = \left( \int_a^b w(x) \left( \frac{\phi_1}{l_x} \sum_{j=1}^{l_x} |h_M^{\sigma(j)}(x) - h_N^{\sigma(j)}(x)|^\lambda + \phi_2 |\bar{h}_M(x) - \bar{h}_N(x)|^\lambda \right) dx \right)^{\frac{1}{\lambda}} \quad (156)$$

مجدداً با فرض  $\phi_1 = \phi_2 = \frac{1}{\lambda}$ ، معیار فوق به فاصله وزن دار فازی مردد پیوسته توسعه یافته بهبود یافته به صورت زیر تبدیل خواهد شد:

$$d_{HFS}^{46}(M, N) = \left( \frac{1}{\lambda} \int_a^b w(x) \left( \frac{1}{l_x} \sum_{j=1}^{l_x} |h_M^{\sigma(j)}(x) - h_N^{\sigma(j)}(x)|^\lambda + |\bar{h}_M(x) - \bar{h}_N(x)|^\lambda \right) dx \right)^{\frac{1}{\lambda}} \quad (157)$$

علاوه بر این، با قرار دادن  $\lambda = 1$  معیار فوق به ترتیب به فاصله همینگ وزن دار فازی مردد پیوسته بهبود یافته و فاصله اقلیدسی وزن دار فازی مردد پیوسته بهبود یافته به صورت زیر تبدیل می‌شود:

$$d_{HFS}^{47}(M, N) = \frac{1}{\lambda} \int_a^b w(x) \left( \frac{1}{l_x} \sum_{j=1}^{l_x} |h_M^{\sigma(j)}(x) - h_N^{\sigma(j)}(x)| + |\bar{h}_M(x) - \bar{h}_N(x)| \right) dx \quad (158)$$

$$d_{HFS}^{48}(M, N) = \left( \frac{1}{\lambda} \int_a^b w(x) \left( \frac{1}{l_x} \sum_{j=1}^{l_x} (h_M^{\sigma(j)}(x) - h_N^{\sigma(j)}(x))^\lambda + (\bar{h}_M(x) - \bar{h}_N(x))^\lambda \right) dx \right)^{\frac{1}{\lambda}} \quad (159)$$

در صورتی که برای هر  $w(x) = 1/(b-a)$ ,  $x \in [a, b]$  باشد، فاصله‌های همینگ نرمال شده فازی مردد پیوسته بهبود یافته و اقلیدسی نرمال شده فازی مردد پیوسته بهبود یافته به شکل زیر نمایش داده می‌شوند:

$$d_{HFS}^{49}(M, N) = \frac{1}{\gamma(b-a)} \int_a^b \left( \frac{1}{l_x} \sum_{j=1}^{l_x} |h_M^{\sigma(j)}(x) - h_N^{\sigma(j)}(x)| + |\tilde{h}_M(x) - \tilde{h}_N(x)| \right) dx \quad (160)$$

$$d_{HFS}^{50}(M, N) = \left( \frac{1}{\gamma(b-a)} \int_a^b \left( \frac{1}{l_x} \sum_{j=1}^{l_x} (h_M^{\sigma(j)}(x) - h_N^{\sigma(j)}(x))^{\gamma} + (\tilde{h}_M(x) - \tilde{h}_N(x))^{\gamma} \right)^{\frac{1}{\gamma}} dx \right)^{\frac{1}{\gamma}} \quad (161)$$

همچنین، معادله (۱۵۷) نیز به فاصله نرمال شده فازی مردد پیوسته توسعه یافته بهبود یافته به صورت زیر تبدیل می‌شود:

$$d_{HFS}^{51}(M, N) = \left( \frac{1}{\gamma(b-a)} \int_a^b \left( \frac{1}{l_x} \sum_{j=1}^{l_x} |h_M^{\sigma(j)}(x) - h_N^{\sigma(j)}(x)|^{\lambda} + |\tilde{h}_M(x) - \tilde{h}_N(x)|^{\lambda} \right)^{\frac{1}{\lambda}} dx \right)^{\lambda} \quad (162)$$

بر اساس رابطه بین معیار فاصله و معیار شباهت، می‌توان معیار شباهت زیر را برای مجموعه‌های

فازی مردد تعریف نمود:

$$s_{HFS}(M, N) = 1 - \left( \sum_{i=1}^n w_i \left( \frac{\phi_1}{l_{x_i}} \sum_{j=1}^{l_{x_i}} |h_M^{\sigma(j)}(x_i) - h_N^{\sigma(j)}(x_i)|^\lambda + \phi_2 |\hbar_M(x_i) - \hbar_N(x_i)|^\lambda \right) \right)^{\frac{1}{\lambda}} \quad (163)$$

علاوه بر این، در [۲۱]، معیار دیگری برای اندازی‌گیری شباهت بین مجموعه‌های فازی مردد به صورت زیر معرفی شده است:

$$s_{HFS}^*(M, N) = \frac{d_{HFS}^*(M, N^c)}{d_{HFS}^*(M, N) + d_{HFS}^*(M, N^c)} \quad (164)$$

که  $d_{HFS}^*$  معیار فاصله وزن دار فازی مردد توسعه یافته جدید، و  $N^c$  مکمل مجموعه فازی مردد  $N$  است که به صورت زیر تعیین می‌شود:

$$N^c = \{ < x_i, (h_N(x_i))^c > \mid x_i \in X \} \quad (165)$$

که  $(h_N(x_i))^c = \{ 1 - h_N^{\sigma(j)}(x_i) \mid j = 1, 2, \dots, l_{x_i} \}$  می‌باشد.

## ۴ نتیجه‌گیری

مجموعه‌های فازی و توسعه‌های متعدد آنها که تاکنون معرفی شده‌اند، ابزارهایی مفید برای برخورد با عدم‌قطعیت موجود در بسیاری از مسائل هستند. از طرف دیگر، معیارهای فاصله و شباهت، اهمیت فراوانی در کاربردهای مختلف دارند. از این‌رو، معرفی معیارهای فاصله و شباهت برای این مجموعه‌ها به زمینه تحقیقاتی جذابی برای محققین تبدیل شده و تاکنون معیارهای متنوعی برای این مجموعه‌ها معرفی شده است. با توجه به جذابیت و اهمیت این موضوع، در این مقاله، برخی از معیارهای فاصله و شباهت برای این مجموعه‌ها مورد بررسی قرار گرفت. در تحقیقات آتی، محققین

می‌توانند توسعه‌های دیگری از مجموعه‌های فازی و معیارهای فاصله و شباهت معرفی شده برای آنها را مورد بررسی قرار دهند.

## مراجع

- [1] K. T. Atanassov, Intuitionistic fuzzy sets, *Fuzzy Sets and Systems*, **20**(1986), 87-96.
- [2] V. Balopoulos, A. G. Hatzimichailidis and B. K. Papadopoulos, Distance and similarity measures for fuzzy operators, *Information Sciences*, **177**(2007), 2336-2348.
- [3] B. B. Chaudhuri and A. Rosenfeld, A modified Hausdorff distance between fuzzy sets, *Information Sciences*, **118**(1999), 159-171.
- [4] N. Chen, Z. Xu and M. Xia, The ELECTRE I multi-criteria decision-making method based on hesitant fuzzy sets, *International Journal of Information Technology & Decision Making*, **14**(2015), 621-657.
- [5] D. Dubois and H. Prade On distances between fuzzy points and their use for plausible reasoning, *Proc. Int. Conf. on Systems, Man and Cybernetics*, (1983), 300-303.
- [6] M. B. Gorzałczany, A method of inference in approximate reasoning based on interval-valued fuzzy sets, *Fuzzy Sets and Systems*, **21**(1987), 1-17.
- [7] P. Grzegorzewski, Distances between intuitionistic fuzzy sets and/or interval-valued fuzzy sets based on the Hausdorff metric, *Fuzzy Sets and Systems*, **148**(2004), 319-328.

- [8] W. L. Hung and M. S. Yang, Similarity measures between type-2 fuzzy sets, *International Journal of Uncertainty, Fuzziness and Knowledge-Based Systems*, **12**(2004), 827-841.
- [9] L. K .Hyung, Y. S. Song and K. M. Lee, Similarity measure between fuzzy sets and between elements, *Fuzzy Sets and Systems*, **62**(1994), 291-293.
- [10] J. M. Mendel and R. I. B. John, Type-2 fuzzy sets made simple, *IEEE Trans. Fuzzy Syst.*, **10**(2002), 117-127.
- [11] C. P. Pappis and N. I. Karacapilidis, A comparative assessment of measures of similarity of fuzzy values, *Fuzzy Sets and Systems*, **56**(1993), 171-174.
- [12] H. Rezaei, M. Emoto and M. Mukaidono, New Similarity Measure Between Two Fuzzy Sets, *Journal of Advanced Computational Intelligence and Intelligent Informatics*, **10**(2006), 946-953.
- [13] H. Rezaei and M. Mukaidono, New Similarity Measures of Intuitionistic Fuzzy Sets, *Journal of Advanced Computational Intelligence and Intelligent Informatics*, **11**(2007), 202-209.
- [14] A. Rosenfeld, Distances between fuzzy sets, *Pattern Recognition Letters*, **3**(1985), 229-233.
- [15] L. Rutkowski, *Computational Intelligence*, Springer-Verlag Berlin Heidelberg, (2008).
- [16] P. Singh, Some new distance measures for type-2 fuzzy sets and distance measure based ranking for group decision making problems, *Frontiers of Computer Science*, **8**(2014), 741-752.

- [17] E. Szmidt, *Distances and Similarities in Intuitionistic Fuzzy Sets*, Springer International Publishing, (2014).
- [18] E. Szmidt and J. Kacprzyk, Distances between intuitionistic fuzzy sets, *Fuzzy Sets and Systems*, **114**(2000), 505-518.
- [19] V. Torra, Hesitant fuzzy sets, *International Journal of Intelligent Systems*, **25**(2010), 529-539.
- [20] V. Torra and Y. Narukawa, On hesitant fuzzy sets and decision, *The 18th IEEE International Conference on Fuzzy Systems*, Jeju Island, Korea, (2009), 1378-1382.
- [21] W. J. Wang, New similarity measures on fuzzy sets and on elements, *Fuzzy Sets and Systems*, **85** (1997), 305-309.
- [22] W. Wang and X. Xin, Distance measure between intuitionistic fuzzy sets, *Pattern Recognition Letters*, **26**(2005), 2063-2069.
- [23] M. Xia and Z. Xu, Hesitant fuzzy information aggregation in decision making, *International Journal of Approximate Reasoning*, **52**(2011), 395-407.
- [24] Z. Xu, Some similarity measures of intuitionistic fuzzy sets and their applications to multiple attribute decision making, *Fuzzy Optimization and Decision Making*, **6**(2007), 109-121.
- [25] Z. S. Xu and J. Chen, An overview of distance and similarity measures of intuitionistic fuzzy sets, *International Journal of Uncertainty, Fuzziness and Knowledge-Based Systems*, **16**(2008), 529-555.
- [26] Z. Xu and M. Xia, Distance and similarity measures for hesitant fuzzy sets, *Information Sciences*, **181**(2011), 2128-2138.

- [27] L. Xuecheng, Entropy, distance measure and similarity measure of fuzzy sets and their relations, *Fuzzy Sets and Systems*, **52**(1992), 305-318.
- [28] L. A. Zadeh, Fuzzy sets, *Information and Control*, **8**(1965), 338-353.
- [29] L. A. Zadeh, The concept of a linguistic variable and its application to approximate reasoning-I, *Information Sciences*, **8**(1975), 199-249.
- [30] W. Zeng and P. Guo, Normalized distance, similarity measure, inclusion measure and entropy of interval-valued fuzzy sets and their relationship, *Information Sciences*, **178**(2008), 1334-1342.
- [31] X. Zhang and Z. Xu, Novel distance and similarity measures on hesitant fuzzy sets with applications to clustering analysis, *Journal of Intelligent & Fuzzy Systems*, **28**(2015), 2279-2296.
- [32] H. Zhang, W. Zhang and C. Mei, Entropy of interval-valued fuzzy sets based on distance and its relationship with similarity measure, *Knowledge-Based Systems*, **22**(2009), 449-454.